

特性

- 144 Mbit 容量 (8 M × 18、4 M × 36)
- 总随机事务处理速率^[1] 为 2132 MT/s
- 最大工作频率为 1066 MHz
- 读延迟 8.0 个时钟周期, 写延迟 5.0 个时钟周期
- 8 组的架构允许在每个周期中对每一组进行一次访问。
- 所有访问均为 2 个字宽度的突发访问
- 两个独立的双向数据端口
 - 双数据速率 (DDR) 的数据端口
 - 在两个端口上都支持并发读 / 写数据操作
- 单地址端口, 用于控制两个数据端口
 - DDR 地址信令
- 单倍数据速率 (SDR) 的控制信令
- 高速收发器逻辑 (HSTL) 和短引线串行端接逻辑 (SSTL) 与指令兼容 (符合 JESD8-16A 标准)
 - I/O $V_{DDQ} = 1.2\text{ V} \pm 50\text{ mV}$ 或 $1.25\text{ V} \pm 50\text{ mV}$
- 伪开漏 (POD) 信令 (符合 JESD8-24)
 - I/O $V_{DDQ} = 1.1\text{ V} \pm 50\text{ mV}$ 或 $1.2\text{ V} \pm 50\text{ mV}$
- 内核电压
 - $V_{DD} = 1.3\text{ V} \pm 40\text{ mV}$
- 片内终端 (ODT)
 - 时钟、地址 / 指令和数据输入可编程
- ZQ 引脚上输出阻抗的内部自校准
- 总线反转性能可用于降低开关噪声和功耗。
 - 地址和数据使能或禁用可编程
- 地址总线奇偶校验错误保护
- 消除每一位扭曲的训练序列
- 降低软错误率 (SER) 的片上纠错码 (ECC)
- JTAG 1149.1 测试访问端口 (符合 JESD8-26)
 - 1.3 V LVCMOS 信令
- 提供具有 361 个球形焊盘的 FCBGA 无铅封装 (21 × 21 mm)

产品选择指南

| 说明 | | QDR-IV 2132 (MT/s) | QDR-IV 1866 (MT/s) | 单位 |
|--------|-----|-----------------------|-----------------------|-----|
| 最大工作频率 | | 1066 | 933 | MHz |
| 最大工作电流 | ×18 | 4100 | 3400 | mA |
| | ×36 | 4500 | 4000 | |

注意:

1. RTR (随机事务处理速率) 被定义为存储器可以执行的完全随机存储器访问 (读或写) 的次数。RTR 的测量单位为每秒百万条事务处理。

配置

CY7C4122KV13 – 8 M × 18

CY7C4142KV13 – 4 M × 36

功能说明

QDR-IV XP (Xtreme 性能) SRAM 是高性能的存储器器件, 通过使用两个独立的双向数据端口能够使每秒的随机事务处理次数最大化。

这些端口拥有 DDR 接口并被分别指定为端口 A 和端口 B。可对这两个数据端口同时进行访问, 并且它们是相互独立的。对每个端口进行的访问都会通过一个公用地址总线 (以双倍数据速率 DDR 运行) 进行。以单倍数据速率 (SDR) 运行的控制信号用于确定执行读或写操作。

有三种差分时钟:

- (CK、CK#), 用于地址和指令时钟
- (DKA、DKA#、DKB、DKB#), 用于数据输入时钟
- (QKA、QKA#、QKB、QKB#), 用于数据输出时钟

端口 A 地址被锁存到输入时钟 (CK) 的上升沿中, 端口 B 地址被锁存到输入时钟 (CK) 的下降沿中。

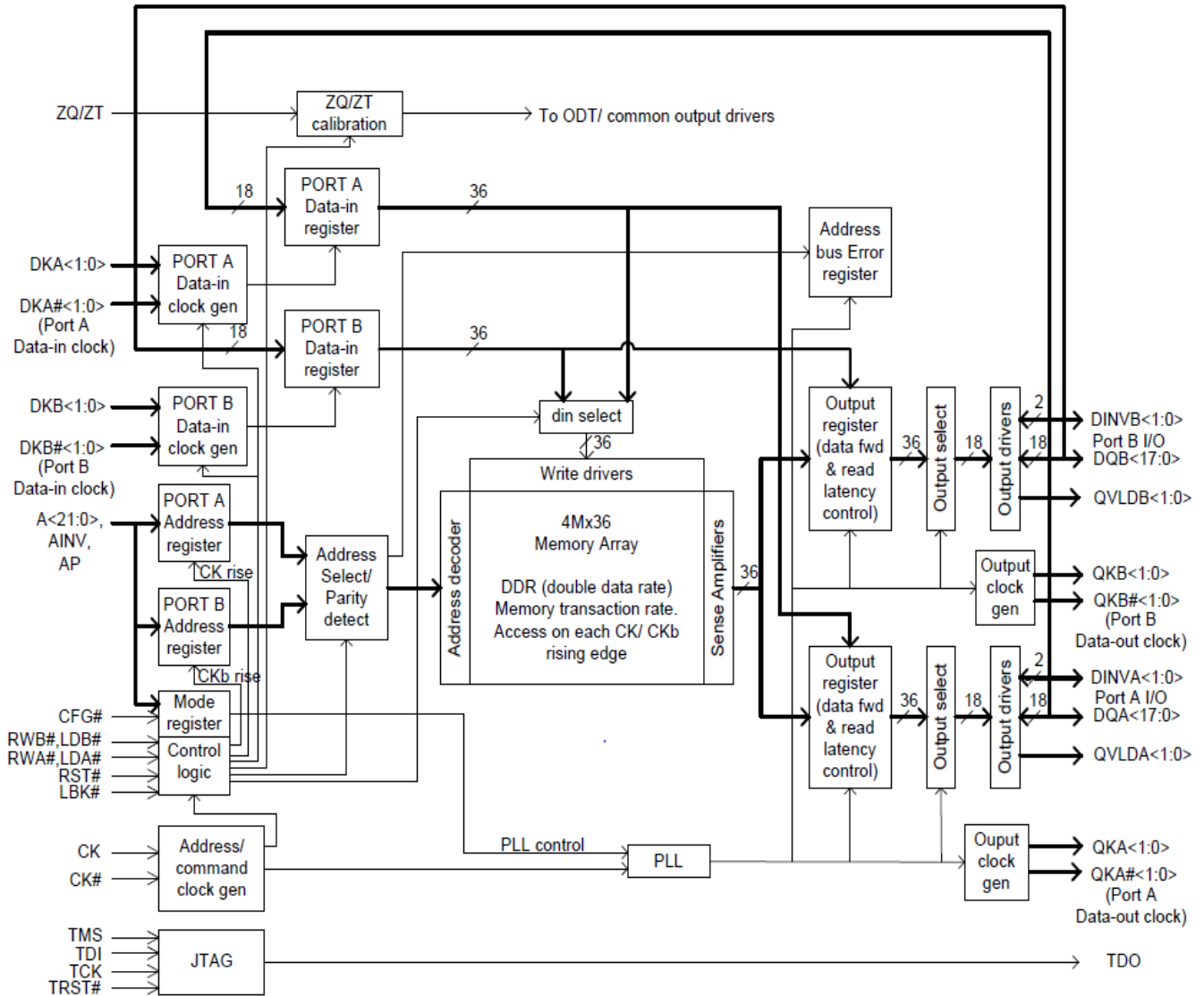
QDR-IV XP SRAM 被内部分为八个内部组。在每个时钟周期内, 每个组都可以被访问一次, 使得 SRAM 能够以高频率运行。

QDR-IV XP SRAM 包括总线宽度为 ×18 和 ×36 的两种配置, 并能够以两个字宽的突发方式来访问数据。

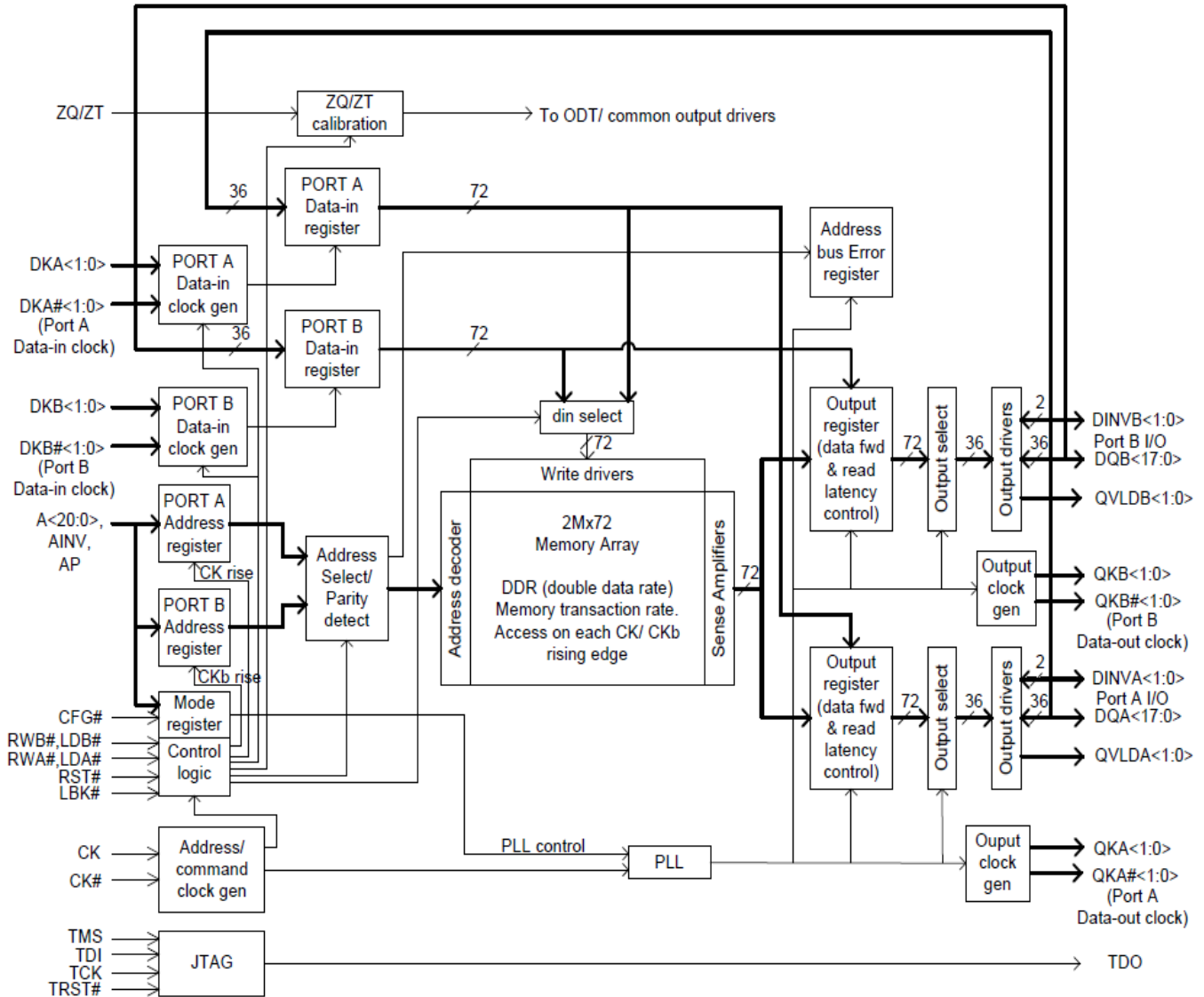
×18 总线宽度配置有 22 个地址位, 则 ×36 总线宽度配置有 21 个地址位。

片上 ECC 电路检测并校正所有单个二进制位的存储器错误, 包括由软错误事件导致的错误, 如宇宙线和 α 粒子。因此, 这些器件的 SER 预期小于 0.01 FITs/Mb, 即比先前的各代 SRAM 已提高了 4 个数量级。

逻辑框图 — CY7C4122KV13



逻辑框图 — CY7C4142KV13



目录

| | | | |
|---------------------------------|----|-----------------------|----|
| 引脚配置 | 5 | TAP 交流开关特性 | 24 |
| 引脚定 | 7 | TAP 时序图 | 25 |
| 功能概述 | 9 | 标识寄存器定义 | 26 |
| 时钟 | 9 | 扫描寄存器的大小 | 26 |
| 指令周期 | 9 | 指令代码 | 26 |
| 读和写数据周期 | 9 | 边界扫描顺序 | 27 |
| 分组操作 | 9 | 最大额定值 | 30 |
| 地址和数据总线反转 | 9 | 工作范围 | 30 |
| 地址奇偶校验 | 10 | 抗中子软失效 | 30 |
| 端口使能 | 10 | 电气特性 | 30 |
| 片上终结 (ODT) 操作 | 10 | 电容 | 32 |
| JTAG 操作 | 10 | 热阻 | 32 |
| 加电与复位 | 10 | 交流测试负载和波形 | 32 |
| 工作模式 | 11 | 开关特性 | 33 |
| 校正训练序列 | 12 | 开关波形 | 35 |
| I/O 信令标准 | 12 | 订购信息 | 42 |
| 初始化 | 13 | 订购代码定义 | 42 |
| 配置寄存器 | 14 | 封装图 | 43 |
| 配置寄存器的说明 | 15 | 缩略语 | 44 |
| 配置寄存器的定义 | 15 | 文档规范 | 44 |
| I/O 类型和端口使能位的定义 | 17 | 测量单位 | 44 |
| ODT 终止位的定义 | 18 | 文档修订记录页 | 45 |
| 驱动强度位的定义 | 19 | 销售、解决方案和法律信息 | 46 |
| IEEE 1149.1 串行边界扫描 (JTAG) | 20 | 全球销售和 design 支持 | 46 |
| 测试访问端口 | 20 | 产品 | 46 |
| TAP 寄存器 | 20 | PSoC® 解决方案 | 46 |
| TAP 指令集 | 20 | 赛普拉斯开发者社区 | 46 |
| TAP 控制器状态图 | 22 | 技术支持 | 46 |
| TAP 控制器框图 | 23 | | |
| TAP 电气特性 | 24 | | |

引脚配置

图 1. 361 球形焊盘的 FCBGA 引脚分布

CY7C4122KV13 (8 M × 18)

| | 1 | 2 | 3 | 4 | 5 | 6 | 7 | 8 | 9 | 10 | 11 | 12 | 13 | 14 | 15 | 16 | 17 | 18 | 19 |
|---|------|-------|---------|-------|-------|-------|-------|---------|----------|-------|-----------|---------|--------|--------|--------|--------|---------|------|------|
| A | VSS | VDDQ | VSS | DQA 5 | VDDQ | DQA 7 | VSS | DQA 8 | VSS | LBK0# | VSS | DQA 17 | VSS | DQA 16 | VDDQ | DQA 14 | VSS | VDDQ | VSS |
| B | VDD | DNU | VDDQ | VSS | DNU | VDDQ | DQA 1 | VDDQ | VDD | LBK1# | VDD | VDDQ | DQA 10 | VDDQ | DNU | VSS | VDDQ | DNU | VDD |
| C | VSS | VDDQ | QvId A0 | QKA0 | VSS | DQA 2 | VDDQ | DQA 0 | VSS | VDDQ | VSS | DQA 9 | VDDQ | DQA 11 | VSS | QKA1 | QvId A1 | VDDQ | VSS |
| D | VDD | VSS | QKA0# | VDDQ | DQA 3 | VSS | DQA 4 | DINV A0 | VDD | CFG# | VDD | DINV A1 | DQA 13 | VSS | DQA 12 | VDDQ | QKA1# | VSS | VDD |
| E | VSS | DNU | VDDQ | VREF | VSS | VDDQ | VSS | VDD | VSS | VDD | VSS | VDD | VSS | VDDQ | VSS | VREF | VDDQ | DNU | VSS |
| F | VDDQ | VSS | DKA0# | DKA0 | DQA 6 | VSS | VDDQ | A13 | VDD | A0 | VDD | A14 | VDDQ | VSS | DQA 15 | DKA1 | DKA1# | VSS | VDDQ |
| G | VSS | DNU | VSS | DNU | VDDQ | VDD | A3 | VSS | A21 144M | A1 | A22 288M | VSS | A4 | VDD | VDDQ | DNU | VSS | DNU | VSS |
| H | VDD | VSS | DNU | VSS | DNU | VSS | VSS | LDA# | VDDQ | RWA# | VDDQ | LDB# | VSS | VSS | DNU | VSS | DNU | VSS | VDD |
| J | VSS | DNU | VDDQ | DNU | VSS | VDD | A5 | VSS | A19 36M | CK | A20 72M | VSS | A6 | VDD | VSS | DNU | VDDQ | DNU | VSS |
| K | TDI | TRST# | TCK | VSS | VDD | VSS | VDD | VREF | VDDQ | CK# | VDDQ | VREF | VDD | VSS | VDD | VSS | TMS | RST# | TDO |
| L | VSS | DNU | VDDQ | DNU | VSS | VDD | A7 | VDD | A17 | RWB# | A18 18M | VDD | A8 | VDD | VSS | DNU | VDDQ | DNU | VSS |
| M | VDD | VSS | DNU | VSS | DNU | VSS | VSS | A11 | VDDQ | AINV | VDDQ | A12 | VSS | VSS | DNU | VSS | DNU | VSS | VDD |
| N | VSS | DNU | VSS | DNU | VDDQ | VDD | A9 | VSS | A23 576M | A2 | A24 1152M | VSS | A10 | VDD | VDDQ | DNU | VSS | DNU | VSS |
| P | VDDQ | VSS | DKB0# | DKB0 | DQB 6 | VSS | VDDQ | A15 | VDD | AP | VDD | A16 | VDDQ | VSS | DQB 15 | DKB1 | DKB1# | VSS | VDDQ |
| R | VSS | DNU | VDDQ | VREF | VSS | VDDQ | VSS | VDD | VSS | VDD | VSS | VDD | VSS | VDDQ | VSS | VREF | VDDQ | DNU | VSS |
| T | VDD | VSS | QKB0# | VDDQ | DQB 3 | VSS | DQB 4 | DINV B0 | VDD | DNU | VDD | DINV B1 | DQB 13 | VSS | DQB 12 | VDDQ | QKB1# | VSS | VDD |
| U | VSS | VDDQ | QvId B0 | QKB0 | VSS | DQB 2 | VDDQ | DQB 0 | VSS | VDDQ | VSS | DQB 9 | VDDQ | DQB 11 | VSS | QKB1 | QvId B1 | VDDQ | VSS |
| V | VDD | DNU | VDDQ | VSS | DNU | VDDQ | DQB 1 | VDDQ | VDD | PE# | VDD | VDDQ | DQB 10 | VDDQ | DNU | VSS | VDDQ | DNU | VDD |
| W | VSS | VDDQ | VSS | DQB 5 | VDDQ | DQB 7 | VSS | DQB 8 | VSS | ZQ/ZT | VSS | DQB 17 | VSS | DQB 16 | VDDQ | DQB 14 | VSS | VDDQ | VSS |

引脚配置（续）

图 2. 361 球形焊盘的 FCBGA 引脚分布

CY7C4142KV13 (4 M × 36)

| | 1 | 2 | 3 | 4 | 5 | 6 | 7 | 8 | 9 | 10 | 11 | 12 | 13 | 14 | 15 | 16 | 17 | 18 | 19 |
|---|------|--------|---------|--------|--------|-------|-------|---------|-----------|-------|-----------|---------|--------|--------|--------|--------|---------|--------|------|
| A | VSS | VDDQ | VSS | DQA 5 | VDDQ | DQA 7 | VSS | DQA 8 | VSS | LBK0# | VSS | DQA 26 | VSS | DQA 25 | VDDQ | DQA 23 | VSS | VDDQ | VSS |
| B | VDD | DQA 13 | VDDQ | VSS | DQA 17 | VDDQ | DQA 1 | VDDQ | VDD | LBK1# | VDD | VDDQ | DQA 19 | VDDQ | DQA 35 | VSS | VDDQ | DQA 31 | VDD |
| C | VSS | VDDQ | QvId A0 | QKA0 | VSS | DQA 2 | VDDQ | DQA 0 | VSS | VDDQ | VSS | DQA 18 | VDDQ | DQA 20 | VSS | QKA1 | QvId A1 | VDDQ | VSS |
| D | VDD | VSS | QKA0# | VDDQ | DQA 3 | VSS | DQA 4 | DINV A0 | VDD | CFG# | VDD | DINV A1 | DQA 22 | VSS | DQA 21 | VDDQ | QKA1# | VSS | VDD |
| E | VSS | DQA 14 | VDDQ | VREF | VSS | VDDQ | VSS | VDD | VSS | VDD | VSS | VDD | VSS | VDDQ | VSS | VREF | VDDQ | DQA 32 | VSS |
| F | VDDQ | VSS | DKA0# | DQA0 | DQA 6 | VSS | VDDQ | A13 | VDD | A0 | VDD | A14 | VDDQ | VSS | DQA 24 | DKA1 | DKA1# | VSS | VDDQ |
| G | VSS | DQA 15 | VSS | DQA 16 | VDDQ | VDD | A3 | VSS | A21 288M | A1 | A22 576M | VSS | A4 | VDD | VDDQ | DQA 34 | VSS | DQA 33 | VSS |
| H | VDD | VSS | DQA 9 | VSS | DQA 10 | VSS | VSS | LDA# | VDDQ | RWA# | VDDQ | LDB# | VSS | VSS | DQA 28 | VSS | DQA 27 | VSS | VDD |
| J | VSS | DQA 11 | VDDQ | DQA 12 | VSS | VDD | A5 | VSS | A19 72M | CK | A20 144M | VSS | A6 | VDD | VSS | DQA 30 | VDDQ | DQA 29 | VSS |
| K | TDI | TRST# | TCK | VSS | VDD | VSS | VDD | VREF | VDDQ | CK# | VDDQ | VREF | VDD | VSS | VDD | VSS | TMS | RST# | TDO |
| L | VSS | DQB 11 | VDDQ | DQB 12 | VSS | VDD | A7 | VDD | A17 | RWB# | A18 36M | VDD | A8 | VDD | VSS | DQB 30 | VDDQ | DQB 29 | VSS |
| M | VDD | VSS | DQB 9 | VSS | DQB 10 | VSS | VSS | A11 | VDDQ | AINV | VDDQ | A12 | VSS | VSS | DQB 28 | VSS | DQB 27 | VSS | VDD |
| N | VSS | DQB 15 | VSS | DQB 16 | VDDQ | VDD | A9 | VSS | A23 1152M | A2 | A24 2304M | VSS | A10 | VDD | VDDQ | DQB 34 | VSS | DQB 33 | VSS |
| P | VDDQ | VSS | DKB0# | DKB0 | DQB 6 | VSS | VDDQ | A15 | VDD | AP | VDD | A16 | VDDQ | VSS | DQB 24 | DKB1 | DKB1# | VSS | VDDQ |
| R | VSS | DQB 14 | VDDQ | VREF | VSS | VDDQ | VSS | VDD | VSS | VDD | VSS | VDD | VSS | VDDQ | VSS | VREF | VDDQ | DQB 32 | VSS |
| T | VDD | VSS | QKB0# | VDDQ | DQB 3 | VSS | DQB 4 | DINV B0 | VDD | DNU | VDD | DINV B1 | DQB 22 | VSS | DQB 21 | VDDQ | QKB1# | VSS | VDD |
| U | VSS | VDDQ | QvId B0 | QKB0 | VSS | DQB 2 | VDDQ | DQB 0 | VSS | VDDQ | VSS | DQB 18 | VDDQ | DQB 20 | VSS | QKB1 | QvId B1 | VDDQ | VSS |
| V | VDD | DQB 13 | VDDQ | VSS | DQB 17 | VDDQ | DQB 1 | VDDQ | VDD | PE# | VDD | VDDQ | DQB 19 | VDDQ | DQB 35 | VSS | VDDQ | DQB 31 | VDD |
| W | VSS | VDDQ | VSS | DQB 5 | VDDQ | DQB 7 | VSS | DQB 8 | VSS | ZQ/ZT | VSS | DQB 26 | VSS | DQB 25 | VDDQ | DQB 23 | VSS | VDDQ | VSS |

引脚定义

| 引脚名称 | I/O | 引脚说明 |
|---------------------------------------|---------|--|
| CK、CK# | 输入时钟 | 地址 / 指令输入时钟。 CK 和 CK# 是差分时钟输入。在 CK 的上升沿和下降沿上对所有控制信号和地址输入信号进行采样。端口 A 的控制和地址输入在 CK 的上升沿上进行采样，则端口 B 的控制和地址输入却在其下降沿上进行的。CK# 和 CK 间的相位差是 180 度。 |
| A[x:0] | 输入 | 地址输入。 在有效的读和写操作期间，在 CK 和 CK# 时钟的上升沿上进行采样。这些地址输入可用于两个端口上的读和写操作。通过较低的三个地址引脚（A0、A1 和 A2）选择将被访问的组。这些地址输入又被称为组地址引脚。 对于（×36）数据宽度 — 地址输入 A[20:0] 被使用，A[24:21] 被保留。 对于（×18）数据宽度 — 地址输入 A[21:0] 被使用，A[24:22] 被保留。 保留的地址输入未被连接。它们可能被连接至高电平、低电平或处于悬空状态。 |
| AP | 输入 | 地址奇偶校验输入。 通过该输入可以在各地址引脚上提供偶校验。 对于（×36）数据宽度：AP 提供偶校验给地址输入 A[20:0] 对于（×18）数据宽度：AP 提供偶校验给地址输入 A[21:0] |
| PE# | 输出 | 地址奇偶校验错误标志。 如果检测到地址奇偶校验错误，该标志将被置为低电平。激活时，PE# 将保持低电平状态，直到通过配置寄存器指令被清除为止。 |
| AINV | 输入 | 地址和地址奇偶校验输入的地址反转引脚。 对于（×36）数据宽度 — AINV 用以反转地址输入 A[20:0] 和地址奇偶校验输入（AP）。 对于（×18）数据宽度 — AINV 用以反转地址输入 A[21:0] 和地址奇偶校验输入（AP）。 |
| DKA[1:0]、DKA#[1:0]、DKB[1:0]、DKB#[1:0] | 输入 | 数据输入时钟。 DKA[0] / DKA#[0] 分别控制 ×36 配置的 DQA[17:0] 输入和 ×18 配置的 DQA[8:0] 输入 DKA[1] / DKA#[1] 分别控制 ×36 配置的 DQA[35:18] 输入和 ×18 配置的 DQA[17:9] 输入 DKB[0] / DKB#[0] 分别控制 ×36 配置的 DQB[17:0] 输入和 ×18 配置的 DQB[8:0] 输入 DKB[1] / DKB#[1] 分别控制 ×36 配置的 DQB[35:18] 输入和 ×18 配置的 DQB[17:9] 输入 |
| QKA[1:0]、QKA#[1:0]、QKB[1:0]、QKB#[1:0] | 输出 | 数据输出时钟。 QKA[0] / QKA#[0] 分别控制 ×36 配置的 DQA[17:0] 输出和 ×18 配置的 DQA[8:0] 输出 QKA[1] / QKA#[1] 分别控制 ×36 配置的 DQA[35:18] 输出和 ×18 配置的 DQA[17:9] 输出 QKB[0] / QKB#[0] 分别控制 ×36 配置的 DQB[17:0] 输出和 ×18 配置的 DQB[8:0] 输出 QKB[1] / QKB#[1] 分别控制 ×36 配置的 DQB[35:18] 输出和 ×18 配置的 DQB[17:9] 输出 |
| DQA[x:0]、DQB[x:0] | 输入 / 输出 | 数据输入 / 输出。 双向数据总线。 对于（×36）数据宽度 — DQA _[35:0] ； DQB _[35:0] 对于（×18）数据宽度 — DQA _[17:0] ； DQB _[17:0] |
| DINVA[1:0]、DINVB[1:0] | 输入 / 输出 | DQ 数据总线的数据反转引脚。 DINVA[0] 分别覆盖 ×36 配置的 DQA[17:0] 和 ×18 配置的 DQA[8:0] DINVA[1] 分别覆盖 ×36 配置的 DQA[35:18] 和 ×18 配置的 DQA[17:9] DINVB[0] 分别覆盖 ×36 配置的 DQB[17:0] 和 ×18 配置的 DQB[8:0] DINVB[1] 分别覆盖 ×36 配置的 DQB[35:18] 和 ×18 配置的 DQB[17:9] |
| LDA#、LDB# | 输入 | 同步加载输入。 LDA# 在 CK 时钟的上升沿上进行采样，则 LDB# 在 CK 时钟的下降沿上进行采样。LDA# 使能数据端口 A 的指令，则 LDB# 使能数据端口 B 的指令。当 LDx# 为低电平时，它将使能这些指令；当它为高电平时，则会禁用这些指令。禁用该指令时，将忽略新的指令，但仍继续进行内部操作。 |
| RWA#、RWB# | 输入 | 同步读 / 写输入。 RWA# 输入在 CK 时钟的上升沿上进行采样，则 RWB# 在 CK 时钟的下降沿上进行采样。RWA# 输入与 LDA# 输入同时使用，以选择读操作或写操作。类似的，RWB# 输入与 LDB# 输入同时使用，以选择读或写操作。 |
| QVLDA[1:0]、QVLDB[1:0] | 输出 | 输出数据有效指示器。 QVLD 引脚表示有效的输出数据。QVLD 与 QKx 和 QKx# 边沿对齐。 |
| ZQ/ZT | 输入 | 输出阻抗匹配输入。 使用此输入调整器件输出的阻抗，使其与系统数据总线的阻抗相对应。 |
| CFG# | 输入 | 配置位。 通过使用该位可以配置不同的模式寄存器。 |

引脚定义（续）

| 引脚名称 | I/O | 引脚说明 |
|-------------|------|--|
| RST# | 输入 | 异步低电平有效 RST。RST# 为低电平时，该引脚有效； RST# 为高电平时，该引脚无效。RST# 引脚具有内部下拉电阻。 |
| LBK0#、LBK1# | 输入 | 校正地址 / 指令 / 时钟的环回模式。 |
| TMS | 输入 | JTAG 的测试模式选择输入引脚。如果电路中未使用 JTAG 功能，此引脚可以保持未连接状态。 |
| TDI | 输入 | JTAG 的测试数据输入引脚。如果电路中未使用 JTAG 功能，此引脚可以保持未连接状态。 |
| TCK | 输入 | JTAG 的测试时钟输入引脚。如果电路中未使用 JTAG 功能，必须将此引脚连接到 VSS。 |
| TDO | 输出 | JTAG 的测试数据输出引脚。如果电路中未使用 JTAG 功能，可以保持此引脚为未连接状态。 |
| TRST# | 输入 | JTAG 的测试复位输入引脚。如果系统中未使用 JTAG 功能，此引脚必须连接到 VDD。TRST# 输入仅适用于 JTAG 模式。 |
| DNU | N/A | 请勿使用。请勿使用这些引脚。 |
| VREF | 参考电压 | 参考电压输入。静态输入用于设置输入、输出和 AC 测量点的参考电平。 |
| VDD | 电源 | 器件内核的电源输入。 |
| VDDQ | 电源 | 器件输出的电源输入。 |
| VSS | 地 | 器件接地。 |

功能概述

QDR-IV XP SRAM 是包含两个独立双向数据端口的两字突发同步 SRAM。下面内容介绍的是器件的操作。

时钟

时钟信号共有三组：CK/CK#、DKx/DKx# 和 QKx/QKx#，其中 x 可以为 A 或 B（表示相应的端口）。

CK/CK# 时钟与下面的地址和控制引脚相关联：A[24:0]、LDA#、LDB#、RWA#、RWB#。CK/CK# 时钟与地址和控制信号中心对齐。

DKx/DKx# 时钟与写数据相关联。当 DDR DQx 和 DINVx 引脚作为写数据的输入时，DKx/DKx# 时钟将作为它们的源中心时钟使用。

QKx/QKx# 时钟与读数据相关联。当双倍数据速率 DQx 和 DINVx 引脚作为读数据的输出时，QKx/QKx# 时钟将作为它们的源同步时钟使用。

指令周期

QDR-IV XP SRAM 读和写指令由控制输入（LDA#、LDB#、RWA# 和 RWB#）以及地址总线驱动。

在输入时钟的上升沿上对端口 A 控制输入（LDA# 和 RWA#）进行采样。在输入时钟的下降沿上对端口 B 控制输入（LDB# 和 RWB#）进行采样。

对于端口 A：

LDA# = 0 和 RWA# = 1 时，将启动读操作。

LDA# = 0 和 RWA# = 0 时，将启动写操作。

在输入时钟的上升沿上对该地址进行采样。

对于端口 B：

LDB# = 0 和 RWB# = 1 时，将启动读操作。

LDB# = 0 和 RWB# = 0 时，将启动写操作。

在输入时钟的下降沿上对该地址进行采样。

读和写数据周期

从 CK 信号（与启动读指令的周期相应）的上升沿算起，在整整 8 个时钟周期内将读数据提供给 DQA 引脚。在总线上驱动第一个数据字的半周期前置位 QVLDA，并在总线上驱动最后一个数据字的半周期前取消对其置位。数据输出在最后数据字后的时钟内是三态化的。

从 CK 信号（与启动读指令的周期相应）的下降沿算起，在整 8 个时钟周期内向 DQB 引脚提供读数据。在总线上驱动第一个数据字的半周期前置位 QVLDB，并在总线上驱动最后一个数据字的半周期前取消置位它。数据输出在最后数据字后的时钟内被三态化的。

从 CK 信号（与启动写指令的周期相应）的上升沿算起，在整 5 个时钟周期内向 DQA 引脚提供写数据。

从 CK 信号（与启动写指令的周期相应）的下降沿算起，在整 5 个时钟周期内向 DQB 引脚提供写数据。

分组操作

QDR-IV XP SRAM 的设计有八个内部组。通过较低的三个地址引脚（A0、A1 和 A2）选择被访问的组。这些地址输入又被称为组地址引脚。

组访问规则

1. 在输入时钟的上升沿上，可以访问**所有组地址**。该地址与端口 A 相关联。
2. 在输入时钟的下降沿上，可以访问**任何其他组地址**。该地址与端口 B 相关联。
3. 如果端口 A 在输入时钟的上升沿上未发出指令，则端口 B 将会在输入时钟下降沿上访问**任何组地址**。
4. 从输入时钟周期的上升沿到输入时钟的下个上升沿，没有**地址限制**。端口 A 可以随时访问任意一组。

为了说明，该分组限制只应用于单时钟周期。由于在输入时钟的上升沿上采样端口 A 地址，因此对端口 A 进行的访问不受任何限制。由于端口 B 地址在输入时钟的下降沿上进行采样，因此端口 B 不能使用端口 A 所用的组。

分组限制

1. 端口 A 的访问并不会导致分组冲突，只有端口 B 的访问才会导致分组冲突。
2. 如果端口 B 尝试访问端口 A 所访问的同一组，则会忽略端口 B 对存储器阵列的访问。端口 A 仍然正常进行访问。
3. 如果端口 B 的请求周期是写周期，那么根本不会表明已经发生了分组冲突。
4. 如果此周期是读周期，则不会生成 QVLDB 信号。各个输出将保持三态。

地址和数据总线反转

为了减少发生同时切换噪声和 I/O 电流，QDR-IV XP SRAM 允许所有地址和数据引脚间的转换。

AINV 引脚表示是否转换了地址总线 A[24:0] 和地址奇偶校验位 AP。地址总线和奇偶校验位被视为一组。AINV 引脚的功能由存储器控制器控制。然而，系统设计应该遵循下面规则。

- 对于一个 ×36 配置器件，21 个地址引脚加上 1 个奇偶校验位都用于地址组中的 22 个信号。如果 '0' 的数量 ≥ 11，则控制器会将 AINV 设置为 1。因此，在每位期间，只有 11 个引脚能以同一方向进行切换。
- 对于 ×18 数据宽度的器件，22 个地址引脚和一个奇偶校验位都用于地址组中的 23 个信号。如果地址组中 '0' 的数量 ≥ 12，则控制器会将 AINV 设置为 1。因此，在每位期间，12 个引脚以上不能以同一方向进行切换。

DINVx 和 DINVB 引脚指示是否反转相应的 DQA 和 DQB 引脚。

- 对于 ×36 数据宽度的器件，可将每个端口的数据总线拆分为有 18 个引脚的组。保证在任何已给的周期内，将每个 18 引脚数据组驱动到不超过 10 个低电平引脚。如果数据组中的 '0' 数量 ≥ 10，则 DINV 被设置为 1。因此，在每位期间，只有 10 个引脚能以同一方向进行切换。
- 对于 ×18 数据宽度的器件，每个端口的数据总线可拆分为有 9 个引脚的组。保证在任何已给的周期内，将每个 9 引脚数据组驱动到不超过 5 个低电平引脚。如果数据组中的 '0' 数量 ≥ 5，则 DINV 被设置为 1。因此，在每位期间，只有 5 个引脚能以同一方向进行切换。

AINV、DINVA[1:0]、DINVB[1:0] 都是高电平有效引脚。将它们设置为 1 时，将反转其相应的总线。如果禁用了数据转换性能，则 DINVA/DINVB 的输出位始终被设置为 0。

通过各个配置寄存器，可以对这些功能进行编程，另外还可以单独为地址总线 and 数据总线使能或禁用它们。

在配置寄存器的读和写周期中，将忽略地址转换输入；当在数据总线上驱动寄存器读取数据时，数据转换输出始终被驱动为 0。尤其是在 DQA[7:0] 上驱动寄存器读取数据，并且会将 DINVA[0] 位驱动为 0。所有其他 DQA/DQB 数据位和 DINVA/DINVB 位均为三态。此外，忽略地址奇偶校验输入（AP）。

地址奇偶校验

QDR-IV XP SRAM 提供了一个地址奇偶校验特性，以保证地址总线上的完整性。提供了以下两个引脚用以支持该功能：AP 和 PE#。

通过该 AP 引脚可以在各地址引脚上提供偶校验。设置 AP 值，使 '1' 的总个数（含 AP 位）是偶数。AP 引脚是 DDR 输入。

在内部，当检测到一个地址奇偶校验错误时，如果对存储器阵列进行写周期访问，则该访问被忽略。即使检测到了一个地址奇偶校验错误，但读访问仍会正常继续进行。

在外部，通过 PE# 引脚指示已发生了地址奇偶校验错误。当检测到地址奇偶校验错误时，该引脚是低电平有效的，并在 RL 周期内被设置为 0。它保持激活状态，直到通过配置寄存器清除错误为止。

地址校验功能是可选的，可以通过配置寄存器来使能或禁用该功能。

在配置寄存器的读和写周期中，地址奇偶校验输入都被忽略。在这些周期内，将不会检查奇偶校验。

注意：存储器控制器首先要根据地址总线生成地址奇偶校验。然后，在地址总线和地址奇偶位上进行地址反转。

端口使能

QDR-IV XP SRAM 拥有两个独立的双向数据端口。然而，某些系统设计师可能会选择仅使用一个端口；或者将其中一个作为只读端口，另一个作为只写端口。

如果在单向模式下使用了一个端口，请禁用数据时钟（DKx/DKx# 或 QKx/QKx#）以降低 EMI 对系统的影响。此外，还需要禁用相应的控制输入（RWx#）。

可以通过编程端口 B 禁用它。如果不使用端口 B，必须进行下面各项操作：

- 必须禁用数据时钟（DKB/DKB# 和 QKB/QKB#）以及控制输入（LDB# 和 RWB#）。
- 所有数据总线信号必须为三态的，包括 DQB、DINVB 和 QVLDB。
- 所有与端口 B 相关联的输入信号可以保持为悬空状态，或者绑定为 1 或 0，而不会对端口 A 的操作产生任何不利影响。
- 未使用端口 B 时，与端口 B 相关联的所有输出信号均无效。

通过选择一个配置寄存器，可以指出某个端口当前未被使用，还是正运行于单向模式。

片内终端电阻（ODT）操作

使能时，芯片的 ODT 电路将在所有 NOP 和写周期内被使能。在读周期中只暂时禁用 ODT，因为读取的数据被输出。

尤其，在数据总线上驱动第一个读取数据节拍的半个时钟周期之前禁用 ODT，并在整个读操作中保持其禁用状态。在数据总线上驱动最后一个读取数据节拍的半个时钟周期之后再次使能 ODT。

JTAG 操作

JTAG 接口使用以下 5 个信号：TRST#、TCK、TMS、TDI 和 TDO。在 JTAG 的正常操作中，此器件不可选用 TRST#。

在 JTAG 模式下，要满足下面各条件：

- 禁用所有引脚的 ODT。

如果系统中不使用 JTAG 功能，则 TRST# 引脚必须连接到 VDD，同时 TCK 输入必须驱动为低电平或连接至 VSS。TMS、TDI 和 TDO 可能会处于悬空状态。

加电与复位

QDR-IV XP SRAM 具有特定的加电和复位的要求，以保证能够可靠运作。

加电顺序

- 在应用 V_{DDQ} 前先应用 V_{DD} 。
- 在应用 V_{REF} 前先应用 V_{DDQ} ，或 V_{REF} 与之同时应用。

复位序列

请参考复位时序图（第 41 页上的图 16）。

1. 上电时，除了 **RST#** 和 **TRST#**（在 t_{PWR} 时间内必须为低电平）外，所有其他输入可能都处于未定义的状态。
2. 驱动到器件的第一个信号要求是输入时钟（**CK/CK#**），在 t_{PWR} 期间该信号可能不稳定。
3. 当输入时钟稳定后，所有的控制输入应被驱动为一个有效的数值，具体如下：
 - a. **RST#** = 0
 - b. **CFG#** = 1
 - c. **LBK0#** = 1
 - d. **LBK1#** = 1
 - e. **LDA#** = 1
 - f. **LDB#** = 1
4. 复位仍保持激活状态，但至少应在 200 μ s（ t_{RSS} ）时间内，所有其他控制输入均被取消激活。
5. 在复位的上升沿上，对各个地址位 **A[13:0]** 进行采样，以加载 **ODT** 值以及端口使能值。复位后，将启动器件的内部操作。包括 **PLL** 初始化和复位内部寄存器等操作。
6. 然而，所有外部控制信号至少在 400000 个时钟周期（ t_{RSH} ）内必须保持为取消激活状态。在这段时间中，应将所有其他信号（数据总线和地址总线）应被驱动为一个有效的值。所有输入到器件的输入应被驱动到一个有效的水平。
7. 然后，器件会处于正常操作模式，并能够对控制输入做出响应。

一般情况下，在一个复位顺序后，系统会开始执行训练顺序，包括下面一节中所概述的步骤。

然而，系统可随时激活 **RST#**，并且系统需要在复位序列后开始正常的读 / 写操作，而无需经过另一个训练序列。在对 **RST#** 取消激活的 t_{RSH} 期间后，芯片应能够立即接受正常的读 / 写操作。

PLL 复位操作

配置寄存器中有一位用以复位 **PLL**。未使能 **PLL** 时不支持运行 **QDR-IV XP SRAM** 器件，即禁用 **PLL** 时也不保证时序特性。然而，仍需要通过该位允许系统复位 **PLL** 锁定电路。

首先将 **PLL** 复位位编程为 1 以禁用 **PLL**，然后将该位清除为 0 以使能 **PLL**，这样便可复位 **PLL**。进行上述步骤后，**PLL** 将重新锁定输入时钟。需要经过 t_{PLL} 长的等待时间。

工作模式

QDR-IV XP SRAM 具有以下三种独特的操作模式：

1. 配置
2. 环回
3. 存储器访问

根据控制信号 **CFG#**、**LBK0#**、**LBK1#**、**LDA#**、**LDB#** 的电平定义上述模式。

目的是为了使这些操作模式相互排斥。亦即一个操作模式不能与其他操作模式同时进行。

如果在错误的时间内不经意激活了控制信号，将**不提供任何优先级**。未定义内部芯片的性能，以避免不正确地确认控制信号。系统必须严格遵守下面一节所定义的正确模式转换，这样是为了让器件能够正常操作。

配置

当激活 **CFG#** 信号时，器件会进入配置操作模式。在进入该模式前至少 32 个时钟周期内，不应该执行存储器访问或环回模式。

在该模式下，千万不要激活 **LDB#**、**LBK0#** 和 **LBK1#** 等控制信号。然而，可以使用 **LDA#** 来执行实际的寄存器读和写操作。

在退出该模式后至少 32 个时钟周期内，不应执行存储器访问或环回模式。

环回

激活 **LBK0#** 和 / 或 **LBK1#** 信号时，会进入环回模式。在进入该模式前至少 32 个时钟周期内，不应该执行存储器访问或配置模式。

刚进入这种模式时，器件需要额外 32 个时钟周期来准备好接收切换有效输入用于培训。

在该模式下，可切换 **LDA#** 和 **LDB#**，以进行训练。

退出该模式后至少 32 个时钟周期内，不应该执行存储器访问或配置模式。

在环回模式下，将不使用数据转换。即使配置寄存器的此特性已使能，在环回模式下仍暂时忽略此转换。

存储器访问

如果未激活 **CFG#**、**LBK0#** 和 **LBK1#** 等控制信号，则器件会处于存储器访问模式。该模式是器件的正常工作模式。

在该模式下，当激活了 **LDA#** 和 / 或 **LDB#** 信号时，将执行一个存储器访问周期。在执行存储器访问周期的过程中，请勿激活 **CFG#**、**LBK0#** 和 **LBK1#** 等控制信号。

在退出该模式前至少 32 个时钟周期内，不应执行存储器访问。

校正训练序列

QDR-IV XP SRAM 支持存储器控制器能够为高速操作校正信号。如果需要校正，存储器控制器会提供校正功能。进行校正过程中，QDR-IV XP SRAM 会在环回模式下工作。

请参见环回时序图（第 40 页上的图 15）。

通过以下三个步骤，可以实现校正：

1. 控制 / 地址校正
2. 读数据校正
3. 写数据校正

控制 / 地址校正

将 LBK0# 设定为 0，和 / 或 LBK1# 设定为 0。

此时将回送下面 39 个信号：

■ DKA0、DKA0#、DKA1、DKA1#

■ DKB0、DKB0#、DKB1、DKB1#

■ LDA#、RWA#、LDB#、RWB#

■ A[24:0]、AINV、AP

DKA0、DKA0#、DKA1#、DKB0、DKB0#、DKB1 和 DKB1# 等时钟输入均为自由运行的时钟输入，并在训练序列中仍继续运行。此外，还需要 tPLL 的等待时间。

请参考第 14 页上的表 1，了解回送信号的映射情况。

对于每个被回送的引脚，通过使用输入时钟（CK/CK#）可在上升沿和下降沿上对输入引脚进行采样。

在输出时钟（QKA/QKA#）的上升沿上采样的输出值既是在输入时钟的上升沿上所采样的值。

在输出时钟（QKA/QKA#）的下降沿上采样的输出值既是在输入时钟的下降沿上所采样的反转值。

从输入引脚到 DQA 输出的延迟为 t_{LBL} ，等于 16 个时钟周期。

读数据校正

此时，地址、控制和数据输入时钟都已经得到了校正。

读数据校正需要使用常数值将培训模型写入到存储器内。

通过使用未校正的 DQA 和 / 或 DQB 信号以及写入训练使能位，可以将下面复杂的数据模型写入到存储器内。

将写训练使能位设置为 1：

在写数据周期中：

第一个数据节拍（第一个数据突发）是从数据总线上采样的。

第二个数据节拍（第二个数据突发）是从同一个数据总线上得到的反转采样。

将写入培训使能位设置为 0：

在写数据周期中：

第一个和第二个数据节拍都从数据总线上采样，这是正常操作。

写入训练使能位不会对读数据周期产生任何影响。

将数据模型写入到存储器内后，标准的读指令允许系统能够校正下述与 QK/QK# 数据输出时钟有关的各个信号：

DQA、DINVA、QVLDA、DQB、DINVB、QVLDB

写数据校正

使用读指令后，通过使用存储器的写指令可校正写数据。

所校正的读数据路径用于确认器件是否已经正确地接收了写数据。

这样允许系统够校正下述与 DK/DK# 输入数据时钟有关的信号：

DQA、DINVA、DQB、DINVB

I/O 信令标准

QDR-IV 支持一些 I/O 信令标准，用户可随意对这些标准进行编程。它们分别是：

■ 1.2 V 和 1.25 V HSTL/SSTL

■ 1.1 V 和 1.2 V POD

通过对地址总线输入进行采样，可在复位的上升沿上编程 I/O 信令标准。编程后，就不能再更改该数值。只能在另一个复位的上升沿上更改该值。

除了在 LVCMOS 信令一节中被列为 LVCMOS 的六个引脚以外，所有地址、控制和数据 I/O 信号都会进行编程，以符合 HSTL/SSTL、或 POD 标准。

HSTL/SSTL 信令

V_{DDQ} 电压为 1.2 V 并且额定电压为 1.25 V 时，支持 HSTL/SSTL。

可以将 ODT 终止值设置为：

■ 40、60 或 120 欧姆（参考电阻为 220 欧姆）

■ 50 或 100 欧姆（参考电阻为 180 欧姆）。

可以将驱动强度编程为：

■ 40 或 60 欧姆（参考电阻为 220 欧姆）

■ 50 欧姆（参考电阻为 180 欧姆）

180 或 220 欧姆的电阻可用于 HSTL/SSTL 信令。

POD 信令

V_{DDQ} 电压为 1.1 V 和额定电压为 1.2 V 时，POD 受支持。

可以将 ODT 终止值设置为：

■ 50 或 100 欧姆（参考电阻为 180 欧姆）

■ 60 或 120 欧姆（参考电阻为 220 欧姆）

可以将驱动强度编程为：

■ 50 欧姆（参考电阻为 180 欧姆）

■ 40 或 60 欧姆（参考电阻为 220 欧姆）

通过 POD 信令，可以支持一个 180 或 220 欧姆的电阻。

LVCMOS 信令

通过永久设置六个 I/O 信号可以在额定电压为 1.3 V 时使用 LVCMOS 信令。这些信号参考了内核供电电压 V_{DD} 。它们分别为：

RST#、TRST#、TCK、TMS、TDI 和 TDO

所有五个 JTAG 信号和主复位输入都是 1.3 V LVCMOS。

另外，在这些 LVCMOS 信号上，ODT 始终被禁用。

初始化

QDR-IV XP SRAM 初始化后才能在正常模式下运行。进行初始化时需要使用四个特殊引脚：

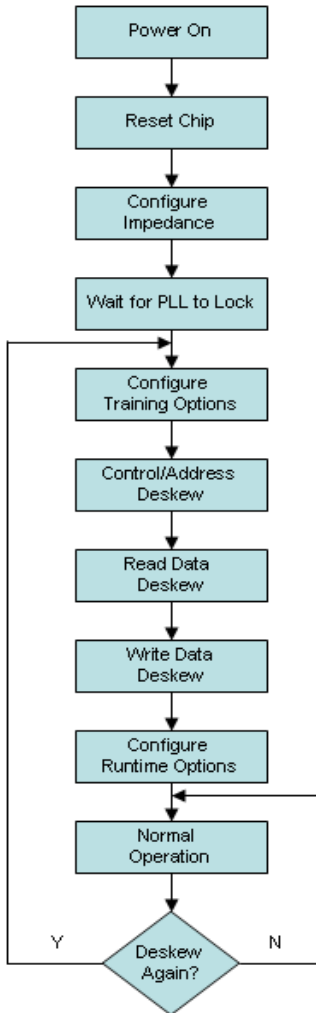
■ RST# 引脚，用于复位器件

■ CFG# 引脚，用于编程配置寄存器

■ LBK0# 和 LBK1# 引脚，用于环回功能

下面的流程图显示的是初始化过程：

图 3. 说明初始化过程的流程图



上电

根据[加电顺序](#)中介绍的上电序列，向芯片供电。

复位芯片

根据[复位序列](#)中所介绍的内容，复位 QDR-IV XP SRAM。

配置阻抗

确认配置（CFG# = 0）并编程阻抗控制寄存器。

等待 PLL 锁存

输入阻抗被更新，使 PLL 时间（ t_{PLL} ）锁存到输入时钟。

配置训练选项

这时，需要编程地址和数据反转选项。另外，还需要使能写训练功能。

确认配置（CFG# = 0）和编程：

- 写训练（打开）
- 地址反转使能
- 数据反转使能

控制/地址校正

这时，存储器控制器可以执行控制和地址校正。

读数据校正

校正控制和地址后，将校正读数据路径，如[校正训练序列](#)中所述。

写数据校正

校正读数据路径后，将校正写数据路径。

配置运行时间选项

完成训练后，请禁用写训练功能。然后，使能地址奇偶校验选项。

确认配置（CFG# = 0）和编程：

- 写训练（关闭）
- 奇偶校验启用

正常运行

如果系统检测到需要重新校正，那么需要从[配置训练选项](#)步骤重新进行操作。下面表格定义了环回映像：

表 1. 回送信号映像

| 输入引脚 LBK0# = 0 LBK1# = 0 | 输入引脚 LBK0# = 0 LBK1# = 1 | 输入引脚 LBK0# = 1 LBK1# = 0 | 输出引脚 |
|--------------------------------|--------------------------------|--------------------------------|-------|
| A0 | A13 | DKA0 | DQA0 |
| A1 | A14 | DKA0# | DQA1 |
| A2 | A15 | DKA1 | DQA2 |
| A3 | A16 | DKA1# | DQA3 |
| A4 | A17 | LDA# | DQA4 |
| A5 | A18 | RWA# | DQA5 |
| A6 | A19 | DKB0 | DQA6 |
| A7 | A20 | DKB0# | DQA7 |
| A8 | A21 | DKB1 | DQA8 |
| A9 | A22 | DKB1# | DQA9 |
| A10 | A23 | LDB# | DQA10 |
| A11 | A24 | RWB# | DQA11 |
| A12 | AINV | AP | DQA12 |

配置寄存器

QDR-IV XP SRAM 拥有多个内部寄存器。系统使用特殊的配置周期可以对它们进行编程。这些寄存器可用于使能并控制若干选项，如本节中所介绍的。所有寄存器的宽度均为 8 位。只要使用地址引脚定义寄存器地址和寄存器写数据，即可进行写操作。对于读操作，会在数据端口 A 的输出引脚上提供寄存器读数据。更多详细信息，请参考第 39 页上的图 14。

各地址引脚 A[13:0] 都在 RST# 的上升沿上被采样。采样值变为第 15 页上的表 2 中定义的寄存器特定位的复位值。复位操作一结束便立即使用此值来设置终止、阻抗和端口配置值。以后通过一个寄存器的写操作可以覆盖这些值。

一旦发生奇偶校验错误，**第一个**错误的完整地址和端口 A/B 的错误位均被记录到寄存器 4、5、6 和 7 中。端口 A/B 错误位表示产生地址奇偶错误的端口（0：表示端口 A，1：表示端口 B）。持续锁存该信息，直到向寄存器 3 中的地址奇偶错误清除位写入 1 来清除该信息为止。

通过两个计数器，可以指出是否发生了多个地址奇偶错误。端口 A 错误计数指的是端口 A 地址上奇偶错误数量的运行计数。同样，端口 B 错误计数指的是端口 B 地址上奇偶错误数量的运行计数。每个计数器会独立计数到最大值 3，然后停止计数。这些计数器均是自由运行的；向寄存器 3 中的地址奇偶错误清除位写入 1，可复位它们。

配置寄存器的说明

表 2. 配置寄存器表

| 寄存器地址 | 说明 |
|-------|-------------|
| 0 | 终端控制寄存器 |
| 1 | 阻抗控制寄存器 |
| 2 | 选项控制寄存器 |
| 3 | 功能控制寄存器 |
| 4 | 地址奇偶状态寄存器 0 |
| 5 | 地址奇偶状态寄存器 1 |
| 6 | 地址奇偶状态寄存器 2 |
| 7 | 地址奇偶状态寄存器 3 |

配置寄存器的定义

表 3. 地址 0: 终端控制寄存器 (读 / 写)

| 描述 | ODT 全局使能 | ODT/ZQ 自动更新 | 地址 / 指令输入组 IU[2] | 地址 / 指令输入组 IU[1] | 地址 / 指令输入组 IU[0] | 时钟输入组 KU[2] | 时钟输入组 KU[1] | 时钟输入组 KU[0] |
|------|----------|-------------|------------------|------------------|------------------|-------------|-------------|-------------|
| 位的位置 | 7 | 6 | 5 | 4 | 3 | 2 | 1 | 0 |
| 复位值 | A7 | A6 | A5 | A4 | A3 | A2 | A1 | A0 |

注意: 如果修改了 ODT/ZQ 配置, 则需要使能 ODT/ZQ 自动更新功能

表 4. 地址 1: 阻抗控制寄存器 (读 / 写)

| 描述 | 下拉组 PD[1] | 下拉组 PD[0] | 上拉组 PU[1] | 上拉组 PU[0] | 未使用 | 数据输入组 QU[2] | 数据输入组 QU[1] | 数据输入组 QU[0] |
|------|-----------|-----------|-----------|-----------|-----|-------------|-------------|-------------|
| 位的位置 | 7 | 6 | 5 | 4 | 3 | 2 | 1 | 0 |
| 复位值 | 1 | 0 | 1 | 0 | 0 | A10 | A9 | A8 |

配置寄存器的说明

表 5. 地址 2: 选项控制寄存器 (读 / 写位 7-3) (只读位 2-0) [2]

| 描述 | 写顺序使能 | 数据反转使能 | 地址反转使能 | 地址奇偶使能 | PLL 复位 | I/O 类型 | 端口使能 [1] | 端口使能 [0] |
|------|-------|--------|--------|--------|--------|--------|----------|----------|
| 位的位置 | 7 | 6 | 5 | 4 | 3 | 2 | 1 | 0 |
| 复位值 | 0 | 0 | 0 | 0 | 0 | A13 | A12 | A11 |

表 6. 地址 3: 功能控制寄存器 (只写)

| 描述 | 未使用 | 未使用 | 未使用 | 未使用 | 未使用 | 未使用 | 未使用 | 清除地址奇偶校验错误标志 |
|------|-----|-----|-----|-----|-----|-----|-----|--------------|
| 位的位置 | 7 | 6 | 5 | 4 | 3 | 2 | 1 | 0 |
| 复位值 | 0 | 0 | 0 | 0 | 0 | 0 | 0 | 0 |

注意:

- 位 2-0 是只读位, 只能在复位上升沿中进行修改

表 7. 地址 4: 地址奇偶状态寄存器 0 (只读)

| 描述 | 端口 B 错误计数 (1:0) | 端口 A 错误计数 (1:0) | 端口 A/B 错误 | AINV 位 | 未使用 | 未使用 |
|------|--------------------|--------------------|-----------|--------|-----|-----|
| 位的位置 | 7:6 | 5:4 | 3 | 2 | 1 | 0 |
| 复位值 | 00 | 00 | 0 | 0 | 0 | 0 |

表 8. 地址 5: 地址奇偶状态寄存器 1 (只读)

| 描述 | 地址 (23:16) |
|---------------------|------------|
| 位的位置 | 7:0 |
| 复位值 | 00000000 |
| 注意: 读取未使用的地址位置将得到 0 | |

表 9. 地址 6: 地址奇偶状态寄存器 2 (只读)

| 描述 | 地址 (15:8) |
|------|-----------|
| 位的位置 | 7:0 |
| 复位值 | 00000000 |

表 10. 地址 7: 地址奇偶状态寄存器 3 (只读)

| 描述 | 地址 (7:0) |
|------|----------|
| 位的位置 | 7:0 |
| 复位值 | 00000000 |

I/O 类型和端口使能位的定义

表 11. 指定在‘地址 2：选项控制寄存器’中的 I/O 典型位定义

| I/O 类型 | 描述 |
|--------|-------------|
| 0 | HSTL / SSTL |
| 1 | POD |

表 12. 指定在‘地址 2：选项控制寄存器’中的端口使能位定义

| 端口使能 [1:0] | | 描述 | 端口 B 模式 | 端口 A 模式 | 端口 B 时钟与控制 | 端口 A 时钟与控制 |
|------------|---|---------|---------|---------|--|--|
| 0 | 0 | 固定端口模式 | 只写 | 只读 | DKB — 开 QKB — 关 LDB# — 开 RWB# — 关 | DKA — 关 QKA — 开 LDA# — 开 RWA# — 关 |
| 0 | 1 | 仅使能端口 A | 禁用 | 使能 | DKB — 关 QKB — 关 LDB# — 关 RWB# — 关 | DKA — 开 QKA — 开 LDA# — 开 RWA# — 开 |
| 1 | 0 | 不支持 | 禁用 | 禁用 | DKB — 关 QKB — 关 LDB# — 关 RWB# — 关 | DKA — 关 QKA — 关 LDA# — 关 RWA# — 关 |
| 1 | 1 | 使能两个端口 | 使能 | 使能 | DKB — 开 QKB — 开 LDB# — 开 RWB# — 开 | DKA — 开 QKA — 开 LDA# — 开 RWA# — 开 |

ODT 终端位定义
表 13. 指定在 '地址 0: 终端控制寄存器' 中时钟输入组的位定义

| ODT 全局使能 | KU[2:0] | | | 除数值 | 终止值 HSTL/SSTL 模式 | | 终止值 POD 模式 | |
|-------------|---------|---|---|--------|------------------|-----------|------------|-----------|
| | | | | | ZT 180 欧姆 | ZT 220 欧姆 | ZT 180 欧姆 | ZT 220 欧姆 |
| 0 | X | X | X | — | OFF | OFF | OFF | 禁用 |
| 1 | 0 | 0 | 0 | — | 禁用 | OFF | OFF | 禁用 |
| 1 | 0 | 0 | 1 | 8.33% | 不支持 | 不支持 | 不支持 | 不支持 |
| 1 | 0 | 1 | 0 | 12.50% | 不支持 | 不支持 | 不支持 | 不支持 |
| 1 | 0 | 1 | 1 | 16.67% | 不支持 | 40 欧姆 | 不支持 | 不支持 |
| 1 | 1 | 0 | 0 | 25% | 50 欧姆 | 60 欧姆 | 50 欧姆 | 60 欧姆 |
| 1 | 1 | 0 | 1 | 50% | 100 欧姆 | 120 ohm | 100 欧姆 | 120 欧姆 |
| 1 | 1 | 1 | 0 | — | 不支持 | 不支持 | 不支持 | 不支持 |
| 1 | 1 | 1 | 1 | — | 不支持 | 不支持 | 不支持 | 不支持 |

注意: 终止值的精确度为 +/- 15%
ZQ 容差为 1%

表 14. 指定在 '地址 0: 终端控制寄存器' 中地址 / 指令输入组的位定义

| ODT 全局使能 | IU[2:0] | | | 除数值 | 终止值 HSTL/ SSTL 模式 | | 终止值 POD 模式 | |
|-------------|---------|---|---|--------|-------------------|-----------|------------|-----------|
| | | | | | ZT 180 欧姆 | ZT 220 欧姆 | ZT 180 欧姆 | ZT 220 欧姆 |
| 0 | X | X | X | — | 禁用 | OFF | OFF | 禁用 |
| 1 | 0 | 0 | 0 | — | 禁用 | OFF | OFF | 禁用 |
| 1 | 0 | 0 | 1 | 8.33% | 不支持 | 不支持 | 不支持 | 不支持 |
| 1 | 0 | 1 | 0 | 12.50% | 不支持 | 不支持 | 不支持 | 不支持 |
| 1 | 0 | 1 | 1 | 16.67% | 不支持 | 40 欧姆 | 不支持 | 不支持 |
| 1 | 1 | 0 | 0 | 25% | 50 欧姆 | 60 欧姆 | 50 欧姆 | 60 欧姆 |
| 1 | 1 | 0 | 1 | 50% | 100 欧姆 | 120 欧姆 | 100 欧姆 | 120 欧姆 |
| 1 | 1 | 1 | 0 | — | 不支持 | 不支持 | 不支持 | 不支持 |
| 1 | 1 | 1 | 1 | — | 不支持 | 不支持 | 不支持 | 不支持 |

注意: 终止值的精确度为 +/- 15%
ZQ 容差为 1%

表 15. 指定在地址 1 中数据输入组的位定义: 阻抗控制寄存器

| ODT 全局使能 | QU[2:0] | | | 除数值 | 终止值 HSTL/ SSTL 模式 | | 终止值 POD 模式 | |
|-------------|---------|---|---|--------|-------------------|-----------|------------|-----------|
| | | | | | ZT 180 欧姆 | ZT 220 欧姆 | ZT 180 欧姆 | ZT 220 欧姆 |
| 0 | X | X | X | — | 禁用 | 禁用 | 禁用 | 禁用 |
| 1 | 0 | 0 | 0 | — | 禁用 | 禁用 | 禁用 | 禁用 |
| 1 | 0 | 0 | 1 | 8.33% | 不支持 | 不支持 | 不支持 | 不支持 |
| 1 | 0 | 1 | 0 | 12.50% | 不支持 | 不支持 | 不支持 | 不支持 |
| 1 | 0 | 1 | 1 | 16.67% | 不支持 | 40 欧姆 | 不支持 | 不支持 |
| 1 | 1 | 0 | 0 | 25% | 50 欧姆 | 60 欧姆 | 50 欧姆 | 60 欧姆 |
| 1 | 1 | 0 | 1 | 50% | 100 欧姆 | 120 欧姆 | 100 欧姆 | 120 欧姆 |
| 1 | 1 | 1 | 0 | — | 不支持 | 不支持 | 不支持 | 不支持 |
| 1 | 1 | 1 | 1 | — | 不支持 | 不支持 | 不支持 | 不支持 |

注意: 终止值的精确度为 +/- 15%
ZQ 容差为 1%

驱动强度位定义
表 16. 指定在地址 1 中上拉驱动器的位定义：阻抗控制寄存器

| PU[1:0] | | 除数值 | 阻抗值 HSTL/ SSTL 模式 | | 阻抗值 POD 模式 | |
|----------------------------------|---|--------|-------------------|-----------|------------|-----------|
| | | | ZT 180 欧姆 | ZT 220 欧姆 | ZT 180 欧姆 | ZT 220 欧姆 |
| 0 | 0 | 14.17% | 不支持 | 不支持 | 不支持 | 不支持 |
| 0 | 1 | 16.67% | 不支持 | 40 欧姆 | 不支持 | 40 欧姆 |
| 1 | 0 | 25% | 50 欧姆 | 60 欧姆 | 50 欧姆 | 60 欧姆 |
| 1 | 1 | — | 不支持 | 不支持 | 不支持 | 不支持 |
| 注意：终止值的精确度为 +/- 15% ZQ 容差为 1% | | | | | | |

表 17. 指定在地址 1 中下拉驱动器的位定义：阻抗控制寄存器

| PD[1:0] | | 除数值 | 阻抗值 HSTL/ SSTL 模式 | | 阻抗值 POD 模式 | |
|----------------------------------|---|--------|-------------------|-----------|------------|-----------|
| | | | ZT 180 欧姆 | ZT 220 欧姆 | ZT 180 欧姆 | ZT 220 欧姆 |
| 0 | 0 | 14.17% | 不支持 | 不支持 | 不支持 | 不支持 |
| 0 | 1 | 16.67% | 不支持 | 40 欧姆 | 不支持 | 40 欧姆 |
| 1 | 0 | 25% | 50 欧姆 | 60 欧姆 | 50 欧姆 | 60 欧姆 |
| 1 | 1 | — | 不支持 | 不支持 | 不支持 | 不支持 |
| 注意：终止值的精确度为 +/- 15% ZQ 容差为 1% | | | | | | |

IEEE 1149.1 串行边界扫描 (JTAG)

在 FCBGA 封装中, QDR-IV XP SRAM 包含了串行边界扫描测试端口 (TAP)。此部件完全符合 IEEE 标准 #1149.1-2001。在 JTAG 模式下, 所有引脚的 ODT 特性被禁用。

如果在电路中没有使用 JTAG 功能, 则 TCK 输入必须驱动为低电平或连接至 VSS。TRST#、TMS、TDI 和 TDO 可能会处于悬空状态。将在 TRST#、TMS 和 TDI 输入上实现内部上拉电阻, 以确保在 t_{PWR} 期间这些输入均保持为高电平。

测试端口

测试时钟 (TCK)

测试时钟仅能与 TAP 控制器配合使用。所有输入都在 TCK 的上升沿被捕获。所有输出都从 TCK 的下降沿被输出。

测试模式选择 (TMS)

TMS 输入用于向 TAP 控制器提供指令, 并在 TCK 的上升沿被采样。如果未使用 TAP, 此引脚可以保持未连接状态。此引脚在内部上拉, 从而产生逻辑高电平。

测试数据输入 (TDI)

TDI 引脚用于以串行方式将信息输入到寄存器中, 并可以连接到任何寄存器的输入。TDI 和 TDO 之间的寄存器由加载到 TAP 指令寄存器中的指令进行选择。有关加载指令寄存器的信息, 请参见第 22 页上的 TAP 控制器状态图。TDI 在内部上拉。如果未使用 TAP, 此引脚可以保持未连接状态。TDI 连接到任何寄存器的最高有效位 (MSB)。

测试数据输出 (TDO)

TDO 输出引脚用于以串行方式从寄存器输出时钟数据。输出有效, 取决于 TAP 状态机的当前状态 (请参见第 26 页上的指令代码)。输出会在 TCK 的下降沿改变。TDO 连接到任何寄存器的最低有效位 (LSB)。

测试复位 (TRST#)

TRST# 输入引脚用于复位 TAP 控制器。

另外, 在 5 个 TCK 上升沿时间内, 通过将 TMS 强制设置为高电平 (V_{DD}), 即可进行复位。

该复位不会影响 SRAM 的工作, 并且在 SRAM 工作期间执行。在加电过程中, 将内部复位 TAP, 以确保 TDO 处于高阻状态。

TAP 寄存器

此类寄存器位于 TDI 和 TDO 引脚之间, 用于扫描 SRAM 测试电路的数据输入和输出。一次只能通过指令寄存器选择一个寄存器。在 TCK 的上升沿, 数据会以串行方式加载到 TDI 引脚。在 TCK 的下降沿, 数据会从 TDO 引脚输出。

指令寄存器

三位指令会以串行方式加载到指令寄存器中。此寄存器在置于 TDI 和 TDO 引脚之间时被加载, 如第 23 页上的 TAP 控制器框图所示。在加电时, 指令寄存器会加载 IDCODE 指令。即使控制器处于 RST (复位) 状态, 也会通过 IDCODE 指令加载该寄存器, 如上一节所述。

当 TAP 控制器处于 Capture-IR 状态时, 两个最低有效位会以二进制 “01” 的形式加载, 以便实现板级串行测试路径的故障隔离。

旁路寄存器

当数据以串行方式写入寄存器时, 跳过某些芯片可能会有助于节省时间。旁路寄存器为单比特寄存器, 可置于 TDI 和 TDO 引脚之间, 从而使数据在写入 SRAM 时具有较小的延迟。执行 BYPASS 指令时, 旁路寄存器会被设置为低电平 (VSS)。

边界扫描寄存器

边界扫描寄存器连接到 SRAM 上的所有输入和输出引脚。扫描寄存器中还包含一些无连接 (NC) 引脚, 以便供更高密度的器件使用。

当 TAP 控制器处于 Capture-DR 状态时, 边界扫描寄存器会加载 RAM 输入和输出环的内容。当控制器转入 Shift-DR 状态后, 该寄存器会被放置在 TDI 和 TDO 引脚之间。EXTEST、SAMPLE/PRELOAD 和 SAMPLE Z 指令用于捕获输入和输出环的内容。

第 27 页上的边界扫描顺序显示了各个位的连接顺序。每个位都对应于 SRAM 封装上的一个管脚。寄存器的 MSB 连接到 TDI, LSB 连接到 TDO。

标识 (ID) 寄存器

当指令寄存器中加载了 IDCODE 指令时, ID 寄存器会在 Capture-DR 状态期间加载供货商特定的 32 位代码。IDCODE 已硬连线到 SRAM 中, 当 TAP 控制器处于 Shift-DR 状态时, 可以将其读出。ID 寄存器具有供货商代码和第 26 页上的标识寄存器定义中所述的其他信息。

TAP 指令集

三位指令寄存器可实现八个不同的指令。第 26 页上的指令代码中列出了所有组合。其中三个指令列为了 RESERVED, 请勿使用这些指令。本节将详细说明其他五个指令。

当指令寄存器置于 TDI 和 TDO 之间时, 这些指令会在 Shift-IR 状态期间加载到 TAP 控制器中。在此状态期间, 指令会通过 TDI 和 TDO 引脚被写入指令寄存器。要在写入指令后执行该指令, 必须使 TAP 控制器转入 Update-IR 状态。

IDCODE

IDCODE 指令用于将供货商特定的 32 位代码加载到指令寄存器中。它还会将指令寄存器放置在 TDI 和 TDO 引脚之间，并会在 TAP 控制器进入 Shift-DR 状态后，将 IDCODE 从器件中移出。在加电时，或每当 TAP 控制器处于 Test-Logic-RST 状态时，IDCODE 指令都会被加载到指令寄存器中。

SAMPLE Z

当 TAP 控制器处于 Shift-DR 状态时，SAMPLE Z 指令会将边界扫描寄存器置于 TDI 和 TDO 引脚之间。SAMPLE Z 指令会将输出总线置于高阻状态，直到在 Update-IR 状态期间提供了下一条指令为止。一旦执行该指令，将使能端口 A 和端口 B。

SAMPLE/PRELOAD

SAMPLE/PRELOAD 是 1149.1 强制指令。当 SAMPLE/PRELOAD 指令加载到指令寄存器中并且 TAP 控制器处于 Capture-DR 状态时，边界扫描寄存器中会捕获输入和输出引脚上数据的快照。

请注意，TAP 控制器时钟的最高工作频率仅为 20 MHz，而 SRAM 时钟的工作频率要比它高一个数量级。由于在时钟频率方面存在较大差距，因此在 Capture-DR 状态期间，输入或输出可能会发生跃变。TAP 可能会在跃变（半稳态）期间尝试捕获信号。虽然这并不会损坏器件，但无法保证捕获到的值是正确的，并且结果可能无法重复。

为了保证边界扫描寄存器捕获到正确的信号值，SRAM 信号必须在足够长的时间内保持稳定，以满足 TAP 控制器对捕获建立加保持时间（ t_{CS} 和 t_{CH} ）的要求。如果在设计中无法在 SAMPLE/PRELOAD 指令期间停止（或减慢）时钟，则可能无法正确捕获 SRAM 时钟输入。即使存在这一问题，仍可以捕获所有其他信号，只要忽略边界扫描寄存器中捕获的 CK 和 CK 的值即可。

捕获数据后，通过将 TAP 置于 Shift-DR 状态，可以读出数据。这会将边界扫描寄存器置于 TDI 和 TDO 引脚之间。

在选择另一个边界扫描测试操作之前，PRELOAD 用于在边界扫描寄存器单元的已锁存并行输出处放置一个初始数据样本。

必要时，SAMPLE 和 PRELOAD 阶段的数据读写可以并发执行，即可以在读出所捕获数据的同时，读入预加载的数据。

BYPASS

当 BYPASS 指令加载到指令寄存器中并且 TAP 处于 Shift-DR 状态时，旁路寄存器会被置于 TDI 和 TDO 引脚之间。BYPASS 指令的优势是当模块上有多个器件连接在一起时，可以缩短边界扫描路径。

EXTEST

EXTEST 指令用于通过系统输出引脚输出预加载的数据。在 Shift-DR 控制器状态下，此指令还会将用于串行访问的边界扫描寄存器置于 TDI 和 TDO 之间。一旦执行了该指令，将使能端口 A 和端口 B。

EXTEST OUTPUT BUS TRISTATE

IEEE 标准 1149.1 强制要求 TAP 控制器应能够将输出总线置于三态模式。

边界扫描寄存器含有输出使能控制位（即第 49 到和第 50 位）。第 49 位使能了 DQB 的输出引脚，第 50 位使能了 DQA 和 PE# 引脚。

在 TAP 控制器处于 Update-DR 状态期间，将当这些扫描单元（称为“外测试输出总线三态”）锁存到预加载寄存器中时，如果输入 EXTEST 作为当前指令，则这些单元会直接控制输出（Q 总线）引脚的状态。置于高电平时，它将允许输出缓冲器控制输出总线。置于低电平时，此位会将输出总线置于高阻状态。

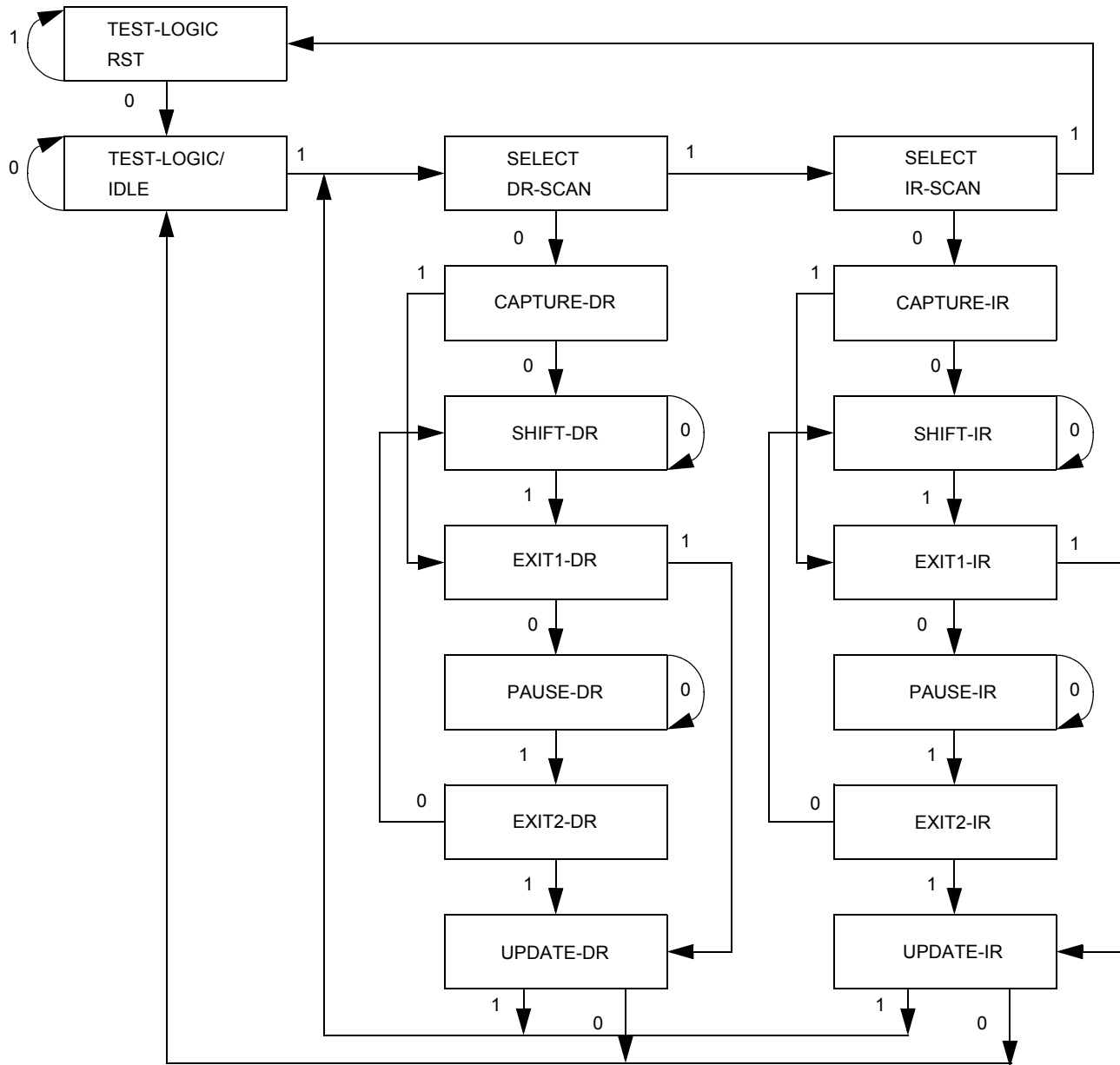
通过输入 SAMPLE/PRELOAD 或 EXTEST 指令，然后在 Shift-DR 状态期间将所需的位读入到此单元中，即可设置这些位。在 Update-DR 期间，加载到该移位寄存器单元中的值会被锁存到预加载寄存器中。输入 EXTEST 指令后，这些位会直接控制输出 Q 总线引脚。请注意，这些位都被预置为低电平，以便在器件加电时，以及 TAP 控制器处于 Test-Logic-RST 状态时，禁用输出。

预留

这些指令尚未实现，但可以留作日后使用。请勿使用这些指令。

TAP 控制器状态图

图 4. TAP 控制器状态图 [3]

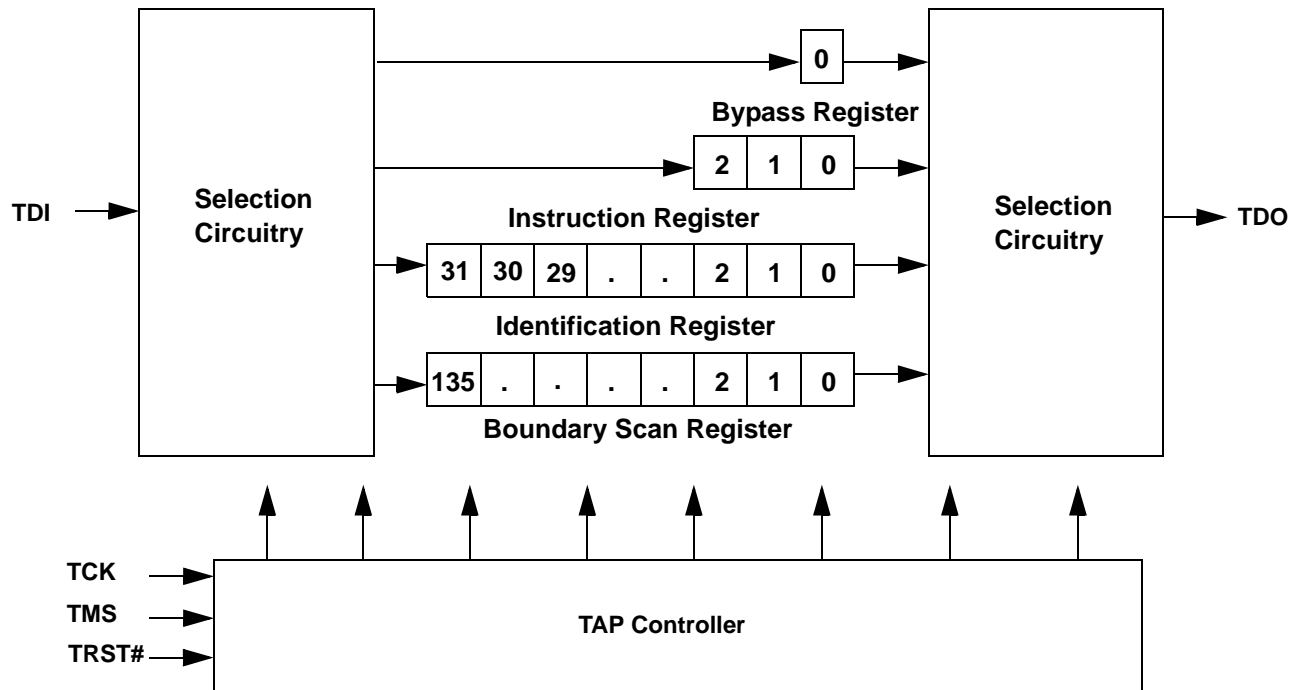


注意:

3. 每个状态旁边的 0/1 代表的是 TCK 上升沿上对应的 TMS 的值。

TAP 控制器框图

图 5. TAP 控制器框图



TAP 电气特性

工作范围

| 参数 | 说明 | 测试条件 | 最小值 | 最大值 | 单位 |
|----------|----------------------|----------------------|---------------------|---------------------|----|
| V_{OH} | LVC MOS 高电平输出电压 | $I_{OH} = 100 \mu A$ | $V_{DD} \times 0.8$ | — | V |
| V_{OL} | LVC MOS 低电平输出电压 | $I_{OL} = 100 \mu A$ | — | $V_{DD} \times 0.2$ | V |
| V_{IH} | LVC MOS 高电平输入电压 (直流) | | $V_{DD} \times 0.7$ | $V_{DD} + 0.2$ | V |
| V_{IL} | LVC MOS 低电平输入电压 (直流) | | -0.2 | $V_{DD} \times 0.3$ | V |
| I_X | LVC MOS 输入漏电流 | | — | 10 | mA |
| I_{OZ} | LVC MOS 输出漏电流 | | — | 10 | mA |

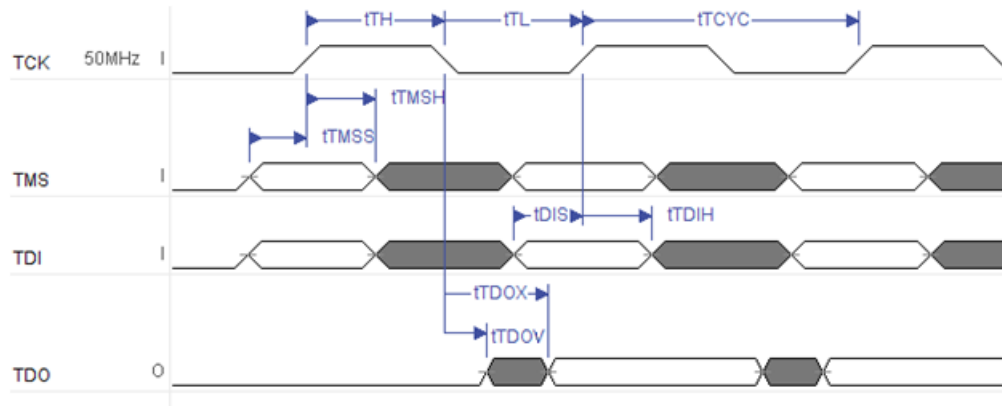
TAP 交流开关特性

工作范围

| 参数 | 说明 | 最小值 | 最大值 | 单位 |
|---|------------------------|-----|-----|-----|
| t_{TCYC} | TCK 时钟周期时间 | 50 | — | ns |
| t_{TF} | TCK 时钟频率 | — | 20 | MHz |
| t_{TH} | TCK 时钟高电平 | 20 | — | ns |
| t_{TL} | TCK 时钟低电平 | 20 | — | ns |
| 设置时间 | | | | |
| t_{TMSS} | 从 TMS 建立到 TCK 时钟上升沿的时长 | 5 | — | ns |
| t_{TDIS} | 从 TDI 建立到 TCK 时钟上升沿的时长 | 5 | — | ns |
| t_{CS} | 从捕获建立到 TCK 上升沿的时长 | 5 | — | ns |
| 保持时间 | | | | |
| t_{TMSH} | TCK 时钟上升沿之后 TMS 保持的时间 | 5 | — | ns |
| t_{TDIH} | 时钟上升沿之后 TDI 保持的时间 | 5 | — | ns |
| t_{CH} | 时钟上升沿之后的捕获保持时间 | 5 | — | ns |
| 输出时间 | | | | |
| t_{TDOV} | 从 TCK 时钟为低到 TDO 有效的时间 | — | 10 | ns |
| t_{TDOX} | 从 TCK 时钟为低到 TDO 无效的时间 | 0 | — | ns |
| 注意: t_{CS} 和 t_{CH} 分别表示从边界扫描寄存器锁存数据的建立和保持时间要求。 | | | | |

TAP 时序图

图 6. TAP 时序图



标识寄存器定义

| 指令字段 | 数值 | | 说明 |
|------------------------|-------------------|-------------------|----------------------|
| | CY7C4122KV13 | CY7C4142KV13 | |
| 版本号 (31:29) | 000 | 000 | 版本号。 |
| 赛普拉斯公司器件 ID (28:12) | 11011010101010011 | 11011010101100011 | 定义 SRAM 的类型。 |
| 赛普拉斯公司 JEDEC ID (11:1) | 00000110100 | 00000110100 | 允许对 SRAM 供货商使用唯一的标识。 |
| ID 寄存器存在情况 (0) | 1 | 1 | 表示是否存在 ID 寄存器。 |

扫描寄存器大小

| 寄存器名称 | 位大小 |
|-------|-----|
| 指令 | 3 |
| 旁路 | 1 |
| ID | 32 |
| 边界扫描 | 136 |

指令代码

| 指令 | 代码 | 说明 |
|----------------|-----|---|
| EXTEST | 000 | 捕获输入和输出环的内容。 |
| IDCODE | 001 | 将供货商 ID 代码加载到 ID 寄存器中，并将该寄存器置于 TDI 和 TDO 之间。此操作不会影响 SRAM 的工作。 |
| SAMPLE Z | 010 | 捕获输入和输出内容。将边界扫描寄存器置于 TDI 和 TDO 之间。强制使所有 SRAM 输出驱动器进入高阻状态。 |
| RESERVED | 011 | 请勿使用：此指令留作日后使用。 |
| SAMPLE/PRELOAD | 100 | 捕获输入和输出内容。将边界扫描寄存器置于 TDI 和 TDO 之间。不会影响 SRAM 的工作。 |
| RESERVED | 101 | 请勿使用：此指令留作日后使用。 |
| RESERVED | 110 | 请勿使用：此指令留作日后使用。 |
| BYPASS | 111 | 将旁路寄存器置于 TDI 和 TDO 之间。此操作不会影响 SRAM 的工作。 |

边界扫描顺序

| 位 | 管脚 | CY7C4142KV13 | CY7C4122KV13 |
|----|-----|--------------|--------------|
| | | ×36 器件 | ×18 器件 |
| 0 | 12A | DQA<26> | DQA<17> |
| 1 | 13B | DQA<19> | DQA<10> |
| 2 | 14A | DQA<25> | DQA<16> |
| 3 | 15B | DQA<35> | NC |
| 4 | 16A | DQA<23> | DQA<14> |
| 5 | 18B | DQA<31> | NC |
| 6 | 17C | QVLDA<1> | QVLDA<1> |
| 7 | 16C | QKA<1> | QKA<1> |
| 8 | 14C | DQA<20> | DQA<11> |
| 9 | 12C | DQA<18> | DQA<9> |
| 10 | 12D | DINVA<1> | DINVA<1> |
| 11 | 13D | DQA<22> | DQA<13> |
| 12 | 15D | DQA<21> | DQA<12> |
| 13 | 17D | QKA#<1> | QKA#<1> |
| 14 | 18E | DQA<32> | NC |
| 15 | 15F | DQA<24> | DQA<15> |
| 16 | 16F | DKA<1> | DKA<1> |
| 17 | 17F | DKA#<1> | DKA#<1> |
| 18 | 18G | DQA<33> | NC |
| 19 | 16G | DQA<34> | NC |
| 20 | 17H | DQA<27> | NC |
| 21 | 15H | DQA<28> | NC |
| 22 | 16J | DQA<30> | NC |
| 23 | 18J | DQA<29> | NC |
| 24 | 18K | RST# | RST# |
| 25 | 18L | DQB<29> | NC |
| 26 | 16L | DQB<30> | NC |
| 27 | 15M | DQB<28> | NC |
| 28 | 17M | DQB<27> | NC |
| 29 | 18N | DQB<33> | NC |
| 30 | 16N | DQB<34> | NC |
| 31 | 15P | DQB<24> | DQB<15> |
| 32 | 16P | DKB<1> | DKB<1> |
| 33 | 17P | DKB#<1> | DKB#<1> |
| 34 | 18R | DQB<32> | NC |
| 35 | 17T | QKB#<1> | QKB#<1> |
| 36 | 15T | DQB<21> | DQB<12> |
| 37 | 13T | DQB<22> | DQB<13> |
| 38 | 12T | DINVB<1> | DINVB<1> |
| 39 | 12U | DQB<18> | DQB<9> |
| 40 | 14U | DQB<20> | DQB<11> |
| 41 | 16U | QKB<1> | QKB<1> |
| 42 | 17U | QVLDB<1> | QVLDB<1> |
| 43 | 18V | DQB<31> | NC |
| 44 | 15V | DQB<35> | NC |
| 45 | 13V | DQB<19> | DQB<10> |
| 46 | 12W | DQB<26> | DQB<17> |

边界扫描顺序（续）

| 位 | 管脚 | CY7C4142KV13 | CY7C4122KV13 |
|----|-----|--------------|--------------|
| | | ×36 器件 | ×18 器件 |
| 47 | 14W | DQB<25> | DQB<16> |
| 48 | 16W | DQB<23> | DQB<14> |
| 49 | | Internal_DQB | Internal_DQB |
| 50 | | Internal_DQA | Internal_DQA |
| 51 | 10V | PE# | PE# |
| 52 | 8P | A<15> | A<15> |
| 53 | 7N | A<9> | A<9> |
| 54 | 9N | NC/1152M | NC/576M |
| 55 | 10P | AP | AP |
| 56 | 10N | A<2> | A<2> |
| 57 | 11N | NC/2304M | NC/1152M |
| 58 | 12P | A<16> | A<16> |
| 59 | 13N | A<10> | A<10> |
| 60 | 13L | A<8> | A<8> |
| 61 | 12M | A<12> | A<12> |
| 62 | 11L | A<18> | A<18> |
| 63 | 10L | RWB# | RWB# |
| 64 | 10M | AINV | AINV |
| 65 | 9L | A<17> | A<17> |
| 66 | 8M | A<11> | A<11> |
| 67 | 7L | A<7> | A<7> |
| 68 | 7J | A<5> | A<5> |
| 69 | 9J | A<19> | A<19> |
| 70 | 10K | CK# | CK# |
| 71 | 10J | CK | CK |
| 72 | 11J | A<20> | A<20> |
| 73 | 13J | A<6> | A<6> |
| 74 | 12H | LDB# | LDB# |
| 75 | 10H | RWA# | RWA# |
| 76 | 8H | LDA# | LDA# |
| 77 | 7G | A<3> | A<3> |
| 78 | 9G | NC/288M | A<21> |
| 79 | 10G | A<1> | A<1> |
| 80 | 11G | NC/576M | NC/288M |
| 81 | 13G | A<4> | A<4> |
| 82 | 12F | A<14> | A<14> |
| 83 | 10F | A<0> | A<0> |
| 84 | 8F | A<13> | A<13> |
| 85 | 10D | CFG# | CFG# |
| 86 | 10B | LBK#<1> | LBK#<1> |
| 87 | 10A | LBK#<0> | LBK#<0> |
| 88 | 8A | DQA<8> | DQA<8> |
| 89 | 7B | DQA<1> | DQA<1> |
| 90 | 6A | DQA<7> | DQA<7> |
| 91 | 5B | DQA<17> | NC |
| 92 | 4A | DQA<5> | DQA<5> |
| 93 | 2B | DQA<13> | NC |
| 94 | 3C | QVLDA<0> | QVLDA<0> |
| 95 | 4C | QKA<0> | QKA<0> |

边界扫描顺序（续）

| 位 | 管脚 | CY7C4142KV13 | CY7C4122KV13 |
|-----|----|--------------|--------------|
| | | ×36 器件 | ×18 器件 |
| 96 | 6C | DQA<2> | DQA<2> |
| 97 | 8C | DQA<0> | DQA<0> |
| 98 | 8D | DINVA<0> | DINVA<0> |
| 99 | 7D | DQA<4> | DQA<4> |
| 100 | 5D | DQA<3> | DQA<3> |
| 101 | 3D | QKA#<0> | QKA#<0> |
| 102 | 2E | DQA<14> | NC |
| 103 | 3F | DKA#<0> | DKA#<0> |
| 104 | 4F | DKA<0> | DKA<0> |
| 105 | 5F | DQA<6> | DQA<6> |
| 106 | 4G | DQA<16> | NC |
| 107 | 2G | DQA<15> | NC |
| 108 | 3H | DQA<9> | NC |
| 109 | 5H | DQA<10> | NC |
| 110 | 4J | DQA<12> | NC |
| 111 | 2J | DQA<11> | NC |
| 112 | 2L | DQB<11> | NC |
| 113 | 4L | DQB<12> | NC |
| 114 | 5M | DQB<10> | NC |
| 115 | 3M | DQB<9> | NC |
| 116 | 2N | DQB<15> | NC |
| 117 | 4N | DQB<16> | NC |
| 118 | 5P | DQB<6> | DQB<6> |
| 119 | 4P | DKB<0> | DKB<0> |
| 120 | 3P | DKB#<0> | DKB#<0> |
| 121 | 2R | DQB<14> | NC |
| 122 | 3T | QKB#<0> | QKB#<0> |
| 123 | 5T | DQB<3> | DQB<3> |
| 124 | 7T | DQB<4> | DQB<4> |
| 125 | 8T | DINVB<0> | DINVB<0> |
| 126 | 8U | DQB<0> | DQB<0> |
| 127 | 6U | DQB<2> | DQB<2> |
| 128 | 4U | QKB<0> | QKB<0> |
| 129 | 3U | QVLDB<0> | QVLDB<0> |
| 130 | 2V | DQB<13> | NC |
| 131 | 5V | DQB<17> | NC |
| 132 | 7V | DQB<1> | DQB<1> |
| 133 | 8W | DQB<8> | DQB<8> |
| 134 | 6W | DQB<7> | DQB<7> |
| 135 | 4W | DQB<5> | DQB<5> |

最大额定值

超过最大额定值可能会影响器件的使用寿命。这些用户指导未经过测试。

存放温度 -65 °C 到 +150 °C
 通电状态下的环境温度 -55 °C 到 +125 °C
 最高结温 125 °C

V_{DD} （相对于 GND）的供电电压 -0.3 V 到 +1.35 V

V_{DDQ} （相对于 GND）的供电电压 -0.3 V 到 +1.35 V
 直流输入电压 -0.3 V 到 +1.35 V
 输出的电流（低电平） 20 mA
 静电放电电压（MIL-STD-883、M. 3015） > 2001V
 栓锁电流 > 200 mA

工作范围

表 18. 工作范围

| 范围 | 壳温 (T_C) | V_{DD} | V_{DDQ} |
|----|---------------|-----------------|--------------------------------|
| 商用 | 0 °C 到 +70 °C | 1.3 V ±40 mV | 1.1 V ± 50 mV 1.2 V ± 50 mV |

中子软失效的免疫性

表 19. 中子软失效的免疫性

| 参数 | 说明 | 测试条件 | 典型值 | 最大值 * | 单位 |
|------|-------------|-------|-----|-------|---------|
| LSBU | 逻辑单比特错误 | 25 °C | 0 | 0.01 | FIT/Mb |
| LMBU | 逻辑多比特错误 | 25 °C | 0 | 0.01 | FIT/Mb |
| SEL | 单个粒子引起的电路死锁 | 85 °C | 0 | 0.1 | FIT/Dev |

* 测试期间未发生 LMBU 或 SEL 事件；此列为统计的 γ^2 ，按 95% 置信区间计算出来的数值。如需详细信息，请参考应用笔记 加速中子 SER 测试和地面故障率的计算 — AN54908 中介绍的内容。

电气特性

工作范围

| 参数 | 说明 | 最小值 | 典型值 | 最大值 | 单位 |
|-----------------------|-----------------------------|-----------------------|----------------------|-----------------------|------|
| POD 信令模式 | | | | | |
| $V_{DD}^{[4]}$ | 内核供电电压（1.3 V ± 40 mV） | 1.26 | 1.3 | 1.34 | V |
| $V_{DDQ}^{[4]}$ | POD I/O 供电电压（1.1 V ± 50 mV） | 1.05 | 1.1 | 1.15 | V |
| | POD I/O 供电电压（1.2 V ± 50 mV） | 1.15 | 1.2 | 1.25 | V |
| $V_{REF}^{[4, 5]}$ | POD 参考电压 | $V_{DDQ} \times 0.69$ | $V_{DDQ} \times 0.7$ | $V_{DDQ} \times 0.71$ | V |
| $V_{OL(DC)}^{[4]}$ | POD 低电平输出电压（直流） | — | — | 0.5 | V |
| $V_{IH(DC)}^{[4, 6]}$ | POD 高电平输入电压（直流） | $V_{REF} + 0.08$ | — | $V_{DDQ} + 0.15$ | V |
| $V_{IL(DC)}^{[4, 6]}$ | POD 低电平输入电压 | -0.15 | — | $V_{REF} - 0.08$ | V |
| $V_{IH(AC)}^{[4, 7]}$ | POD 高电平输入电压（直流） | $V_{REF} + 0.15$ | — | — | V |
| $V_{IL(AC)}^{[4, 7]}$ | POD 低电平输入电压 | — | — | $V_{REF} - 0.15$ | V |
| $V_{MP(DC)}$ | POD 差分输入中点电压；引脚和引脚 # | $V_{REF} - 0.08$ | — | $V_{REF} + 0.08$ | V |
| $V_{ID(DC)}$ | POD 差分输入差分电压（直流）；引脚和引脚 # | 0.16 | — | — | V |
| $V_{ID(AC)}$ | POD 差分输入差分电压（交流）；引脚和引脚 # | 0.30 | — | — | V |
| V_{IN} | POD 单端输入电压；引脚和引脚 # | 0.27 | — | $V_{DDQ} + 0.15$ | V |
| V_{INS} | POD 单端输入电压的转换速率；引脚和引脚 # | 3 | — | — | V/ns |
| $V_{IX(AC)}$ | POD 差分输入交叉点电压（交流）；引脚和引脚 # | $V_{REF} - 0.08$ | — | $V_{REF} + 0.08$ | V |

注释

- 所有电压都参照了 V_{SS} （GND）。
- V_{REF} 上的峰峰值交流噪声决不能超过 $\pm 2\% V_{DDQ}$ （直流）。
- 禁用了 ODT 时，才可以指定 V_{IH}/V_{IL} （直流）的值。
- V_{IH}/V_{IL} （交流）是一个测试条件，用以保证在使能了 ODT 时，接收器必须满足它的时序规范。

电气特性（续）

工作范围

| 参数 | 说明 | 最小值 | 典型值 | 最大值 | 单位 |
|--------------------------|---|------------------------|-----------------------|------------------------|---------|
| $I_X^{[8]}$ | POD 输入漏电流 | — | — | 200 | μA |
| $I_{OZ}^{[8]}$ | POD 输出漏电流 | — | — | 200 | μA |
| $I_{DD}^{[9, 10]}$ | V_{DD} 工作电流（1066 MHz, $\times 18$ ） | — | 2800 | 4100 | mA |
| | V_{DD} 工作电流（1066 MHz, $\times 36$ ） | — | 3920 | 4500 | mA |
| | V_{DD} 工作电流（933 MHz, $\times 18$ ） | — | 2520 | 3400 | mA |
| | V_{DD} 工作电流（933 MHz, $\times 36$ ） | — | 3520 | 4000 | mA |
| HSTL/SSTL 信令模式 | | | | | |
| $V_{DD}^{[11]}$ | 内核供电电压（ $1.3 V \pm 40 mV$ ） | 1.26 | 1.3 | 1.34 | V |
| $V_{DDQ}^{[11]}$ | I/O 供电电压（ $1.2 V \pm 50 mV$ ） | 1.15 | 1.2 | 1.25 | V |
| | I/O 供电电压（ $1.25 V \pm 50 mV$ ） | 1.2 | 1.25 | 1.3 | V |
| $V_{REF(DC)}^{[11, 12]}$ | HSTL/SSTL 参考电压（直流） | $V_{DDQ} \times 0.48$ | $V_{DDQ} \times 0.5$ | $V_{DDQ} \times 0.52$ | V |
| $V_{REF(AC)}^{[11, 12]}$ | HSTL/SSTL 参考电压（交流） | $V_{DDQ} \times 0.47$ | $V_{DDQ} \times 0.5$ | $V_{DDQ} \times 0.53$ | V |
| $V_{IH(DC)}^{[11, 13]}$ | HSTL/SSTL 高电平输入电压（直流） | $V_{REF} + 0.08$ | — | $V_{DDQ} + 0.15$ | V |
| $V_{IL(DC)}^{[11, 13]}$ | HSTL/SSTL 低电平输入电压（直流） | -0.15 | — | $V_{REF} - 0.08$ | V |
| $V_{IH(AC)}^{[11, 14]}$ | HSTL/SSTL 高电平输入电压（交流） | $V_{REF} + 0.15$ | — | $V_{DDQ} + 0.24$ | V |
| $V_{IL(AC)}^{[11, 14]}$ | HSTL/SSTL 低电平输入电压（交流） | -0.24 | — | $V_{REF} - 0.15$ | V |
| $V_{OH(DC)}^{[11]}$ | HSTL/SSTL 高电平输出电压（直流） — $I_{OH} = -0.25 \times V_{DDQ}/R_{OH}$ | $V_{DDQ} \times 0.712$ | $V_{DDQ} \times 0.75$ | — | V |
| $V_{OL(DC)}^{[11]}$ | HSTL/SSTL 低电平输出电压（直流） — $I_{OL} = 0.25 \times V_{DDQ}/R_{OL}$ | — | $V_{DDQ} \times 0.25$ | $V_{DDQ} \times 0.288$ | V |
| V_{IX} | HSTL/SSTL 交叉点的输入电压 | — | $V_{DDQ} \times 0.5$ | — | V |
| $V_{DIF(AC)}$ | HSTL/SSTL 交流输入差分电压 | 0.30 | — | $V_{DDQ} + 0.48$ | V |
| $V_{DIF(DC)}$ | HSTL/SSTL 直流输入差分电压 | 0.16 | — | $V_{DDQ} + 0.30$ | V |
| $V_{DIF(CM)}$ | HSTL/SSTL 直流共模输入 | $V_{DDQ} \times 0.4$ | $V_{DDQ} \times 0.5$ | $V_{DDQ} \times 0.6$ | V |
| V_{OX} | HSTL/SSTL 交叉点的输出电压 | — | $V_{DDQ} \times 0.5$ | — | V |
| $V_{OUT(AC)}$ | HSTL/SSTL 交流输出电压 | -0.24 | — | $V_{DDQ} + 0.24$ | V |
| $V_{OUT(DC)}$ | HSTL/SSTL 直流输出电压 | -0.15 | — | $V_{DDQ} + 0.15$ | V |
| $I_X^{[8]}$ | HSTL/SSTL 输入漏电流 | — | — | 200 | μA |
| $I_{OZ}^{[8]}$ | HSTL/SSTL 输出漏电流 | — | — | 200 | μA |
| $I_{DD}^{[9, 10]}$ | V_{DD} 工作电流（1066 MHz, $\times 18$ ） | — | 2800 | 4100 | mA |
| | V_{DD} 工作电流（1066 MHz, $\times 36$ ） | — | 3920 | 4500 | mA |
| | V_{DD} 工作电流（933 MHz, $\times 18$ ） | — | 2520 | 3400 | mA |
| | V_{DD} 工作电流（933 MHz, $\times 36$ ） | — | 3520 | 4000 | mA |

注释

8. 输出驱动器进入高阻状态（ODT 被禁用）。
9. 工作电流根据 50% 读周期和 50% 写周期计算得出。
10. 典型的工作电流规格是在 V_{DD} 为 1.3V 时测试的。
11. 所有电压都参照了 VSS（GND）。
12. V_{REF} 上的峰峰值交流噪声决不能超过 $\pm 1\% V_{DDQ}$ （直流）。
13. V_{IH}/V_{IL} （直流）的 ODT 被禁用。
14. V_{IH}/V_{IL} （交流）是一个测试条件，用以保证在使能了 ODT 时，接收器必须满足它的时序规范。

电容

表 20. 电容

| 参数 ^[15] | 说明 | 测试条件 | 最大值 | 单位 |
|--------------------|------|---|-----|----|
| C_{IN} | 输入电容 | $T_A = 25\text{ }^{\circ}\text{C}$ 、 $f = 1\text{ MHz}$ 、 $V_{DD} = 1.3\text{ V}$ 、 $V_{DDQ} = 1.25\text{ V}$ | 4 | pF |
| C_O | 输出电容 | | 4 | pF |

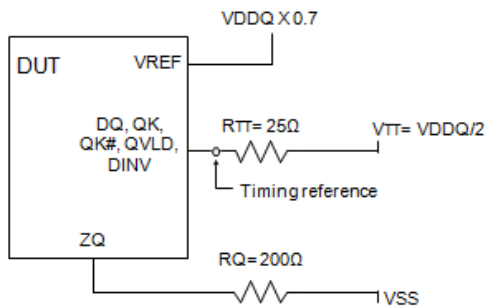
热电阻

表 21. 热电阻

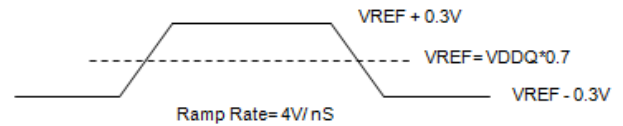
| 参数 ^[15] | 说明 | 测试条件 | | 361 球形焊盘的 FCBGA 封装 | 单位 |
|--------------------|--------------|--|-----------------|--------------------|------|
| Θ_{JA} | 热电阻 （结温到室温） | 根据 EIA/JESD51 的要求，测试条件要遵循热阻的标准测试方法和过程。 | 在静止空气条件下（0 m/s） | 12.00 | °C/W |
| | | | 在空气流动条件下（1 m/s） | 10.57 | °C/W |
| | | | 在空气流动条件下（3 m/s） | 9.09 | °C/W |
| Θ_{JB} | 热电阻 （结温至电路板） | | | 3.03 | °C/W |
| Θ_{JC} | 热电阻 （结温至壳温） | | | 0.029 | °C/W |

交流测试负载和波形

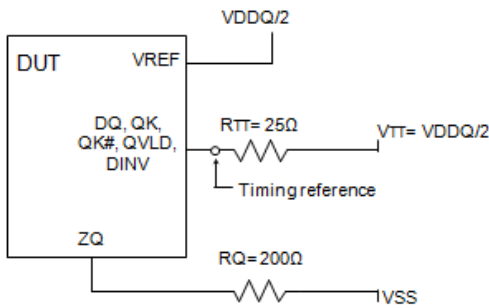
图 7. 交流测试负载和波形



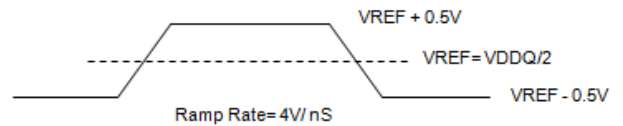
(a). Output AC Test Load (POD I/O)



(b). POD Input Waveforms



(c). Output AC Test Load (HSTL/SSTL I/O)



(d). HSTL/SSTL Input Waveforms

注意:

15. 在任何设计或工艺更改之前和之后进行测试都对这些参数产生影响。

开关特性

工作范围 [16, 17, 18, 19, 20, 21, 22, 23]

| 赛普拉斯参数 | 说明 | 1066 MHz | | 933 MHz | | 单位 |
|------------------|--|----------|-------|---------|-------|----------|
| | | 最小值 | 最大值 | 最小值 | 最大值 | |
| t_{CK} | CK、DKx、QKx 时钟周期 | 0.938 | 1.875 | 1.071 | 2.143 | ns |
| t_{CKL} | CK、DKx 低电平时间 | 0.45* | — | 0.45* | — | t_{CK} |
| t_{CKH} | CK、DKx 高电平时间 | 0.45* | — | 0.45* | — | t_{CK} |
| $t_{JIT(per)}$ | 时钟周期抖动 | -0.055 | 0.055 | -0.060 | 0.060 | ns |
| $t_{JIT(cc)}$ | 周期间抖动 | — | 0.110 | — | 0.120 | ns |
| t_{AS} | A 至 CK 的设置时间 | 0.125 | — | 0.135 | — | ns |
| t_{AH} | CK 到 A 的保持时间 | 0.125 | — | 0.135 | — | ns |
| t_{CS} | LDx#、RWx# 到 CK 的设置时间 | 0.150 | — | 0.180 | — | ns |
| t_{CH} | CK 到 LDx#、RWx# 的保持时间 | 0.150 | — | 0.180 | — | ns |
| t_{CKDK} | CK 至 DKx 的偏移 | -0.15 | 0.15 | -0.172 | 0.172 | ns |
| t_{IS} | DQx、DINVx 至 DKx 的设置时间 | 0.125 | — | 0.135 | — | ns |
| t_{IH} | DKx 至 DQx、DINVx 的保持时间 | 0.125 | — | 0.135 | — | ns |
| $t_{Rise(se)}$ | 单端输出信号（从 20% 到 80%）的上升时间 | 2 | 6 | 2 | 6 | V/ns |
| $t_{Fall(se)}$ | 单端输出信号（从 20% 到 80%）的下降时间 | 2 | 6 | 2 | 6 | V/ns |
| $t_{Rise(diff)}$ | 差分输出信号（从 20% 到 80%）的上升时间 | 3 | 10 | 3 | 10 | V/ns |
| $t_{Fall(diff)}$ | 差分输出信号（从 20% 到 80%）的下降时间 | 3 | 10 | 3 | 10 | V/ns |
| t_{QKL} | QKx 低电平时间 | 0.45* | — | 0.45* | — | t_{CK} |
| t_{QKH} | QKx 高电平时间 | 0.45* | — | 0.45* | — | t_{CK} |
| t_{CKQK} | CK 至 QKx 的时滞 | -0.225 | 0.225 | -0.257 | 0.257 | ns |
| t_{QKQ0} | QKx[0] 到 DQx[17:0], DINVx[0] ($\times 36$) 或 QKx[0] 到 DQx[8:0], DINVx[0] ($\times 18$) | — | 0.075 | — | 0.085 | ns |
| t_{QH0} | QKx[0] 到 DQx[17:0], DINVx[0] ($\times 36$) 或 QKx[0] 到 DQx[8:0], DINVx[0] ($\times 18$) | 0.40* | — | 0.40* | — | t_{CK} |
| t_{QKQ1} | QKx[1] 到 DQx[35:18], DINVx[1] ($\times 36$) 或 QKx[1] 到 DQx[17:9], DINVx[1] ($\times 18$) | — | 0.075 | — | 0.085 | ns |
| t_{QH1} | QKx[1] 到 DQx[35:18], DINVx[1] ($\times 36$) 或 QKx[1] 到 DQx[17:9], DINVx[1] ($\times 18$) | 0.40* | — | 0.40* | — | t_{CK} |
| t_{QKQV0} | QKx[0] 到 QVLDx | — | 0.112 | — | 0.128 | ns |
| t_{QVH0} | QKx[0] 到 QVLDx | 0.85* | — | 0.85* | — | t_{CK} |
| t_{QKQV1} | QKx[1] 到 QVLDx | — | 0.112 | — | 0.128 | ns |
| t_{QVH1} | QKx[1] 到 QVLDx | 0.85* | — | 0.85* | — | t_{CK} |
| t_{PWR} | 从 V_{DD} （典型值）到第一次访问的时间 | 200 | — | 200 | — | 毫秒 |
| t_{RSS} | RST# 脉冲宽度 | 200 | — | 200 | — | μs |
| t_{RSH} | 取消激活 RST# 到第一个指令有效的时间 | 400000* | — | 400000* | — | t_{CK} |

注释

16. x 表示端口 A 和端口 B。例如，DQx 表示 DQA 和 DQB。
17. 输入保持时序假设 4 V/ns 上升沿转换速率是从 V_{IL}/V_{IH} （直流）到 V_{REF} 测量得到的。
18. 输入设置时序假设 4 V/ns 下降沿转换速率是从 V_{REF} 到 V_{IL}/V_{IH} （交流）测量得到的。
19. 所有输出时序假设其负载显示在第 32 页上的图 7 中。
20. 建立 / 保持时间、 t_{ASH} 、 t_{CSH} 、 t_{ISH} 都是基于电气仿真得到的，可用于校正时序预算。如果未进行校正训练，将不会直接测量这些值。
21. 时钟相位抖动是从前一个时钟上升沿到下一个时钟上升沿的差异。
22. 禁止频率漂移。
23. t_{QKQ} 、 t_{QKQX} 受设计的保证。

开关特性（续）

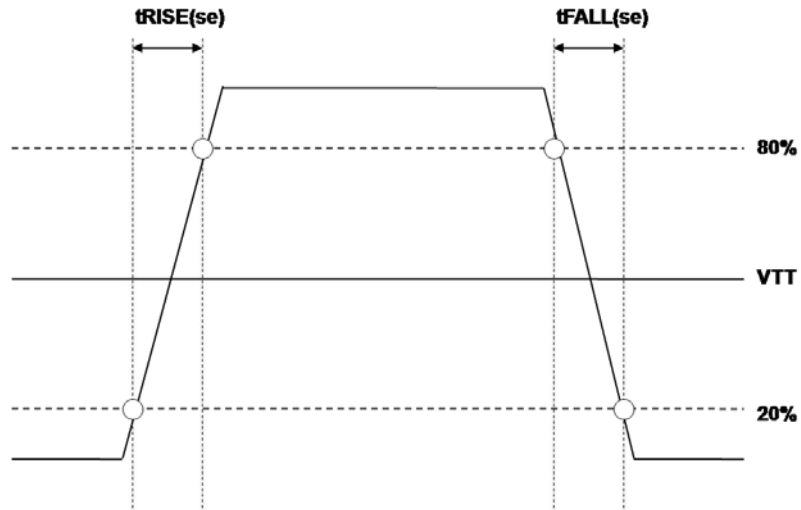
工作范围 [16, 17, 18, 19, 20, 21, 22, 23]

| 赛普拉斯参数 | 说明 | 1066 MHz | | 933 MHz | | 单位 |
|-------------|--|----------|-----|---------|-----|----------|
| | | 最小值 | 最大值 | 最小值 | 最大值 | |
| t_{RDS} | 从 A 到 RST 的设置时间 | 500* | — | 500* | — | t_{CK} |
| t_{RDH} | 从 A 到 RST# 的保持时间 | 500* | — | 500* | — | t_{CK} |
| t_{TSS} | TRST# 脉冲宽度 | 200 | — | 200 | — | μs |
| t_{TSH} | 从 TRST# 释放到第一个 JTAG 指令的时间 | 200 | — | 200 | — | μs |
| t_{PLL} | 复位后 PLL 进入稳定状态需要的时间 | — | 100 | — | 100 | μs |
| t_{LBL} | 回送延迟 | 16* | 16* | 16* | 16* | t_{CK} |
| t_{CD} | 回送输出延迟 | — | 5 | — | 5 | ns |
| t_{CFGs} | 从活跃模式转到配置模式的时间 | 32* | — | 32* | — | t_{CK} |
| t_{CFGH} | 从配置模式转换为活跃模式寄存器访问（不包含 ODT 或 PLL 编程更新）的时间 | 32* | — | 32* | — | t_{CK} |
| t_{CFGH} | 从配置模式转换为活跃模式寄存器访问（包含 ODT 编程更新）的时间 | 4096* | — | 4096* | — | t_{CK} |
| t_{CFGH} | 从配置模式转换为活跃模式寄存器访问（包含 PLL 编程更新）的时间 | 100 | — | 100 | — | μs |
| t_{CFGD} | 配置各指令之间的时间 | 80* | — | 80* | — | t_{CK} |
| t_{CLDS} | CFG# 激活到 LDA# 激活的时间 | 32* | — | 32* | — | t_{CK} |
| t_{CLDH} | LDA# 取消激活到 CFG# 取消激活的时间 | 32* | — | 32* | — | t_{CK} |
| t_{CLDW} | 配置指令的 LDA# 脉冲宽度 | 16* | — | 16* | — | t_{CK} |
| t_{CRDL} | LDA# 激活到读取数据的延迟 | — | 32* | — | 32* | t_{CK} |
| t_{CRDH} | CFG# 取消激活到读取数据的保持时间 | 0* | 32* | 0* | 32* | t_{CK} |
| t_{DQVLD} | 在配置模式中从 DQAx 到 QVLDA<0> 的时间 | -2 | 2 | -2 | 2 | t_{CK} |

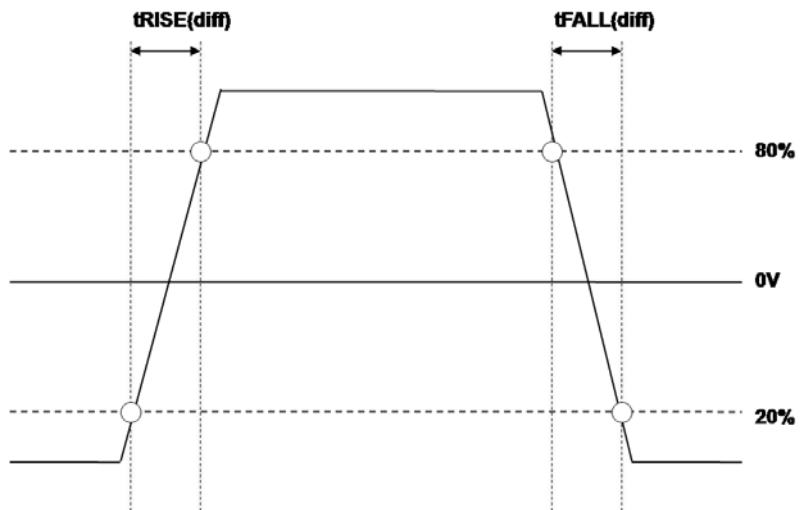
开关波形

图 8. 输出信号的上升和下降时间的定义

单端输出信号的标称上升 — 下降时间的定义



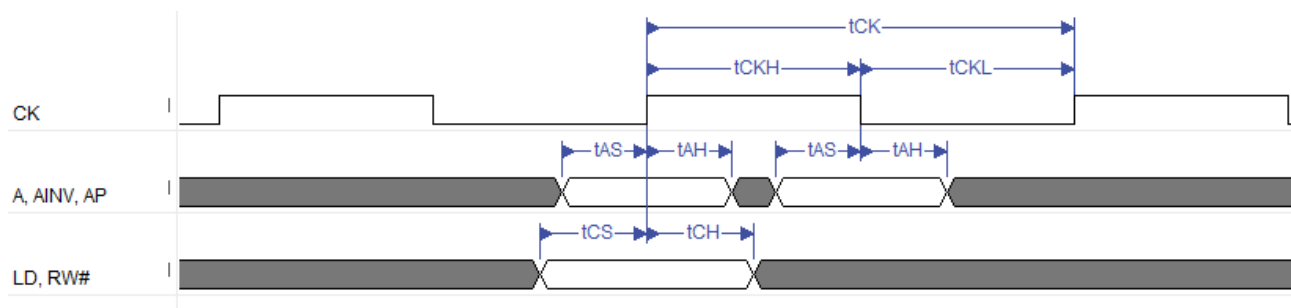
差分输出信号的标称上升 — 下降时间的定义



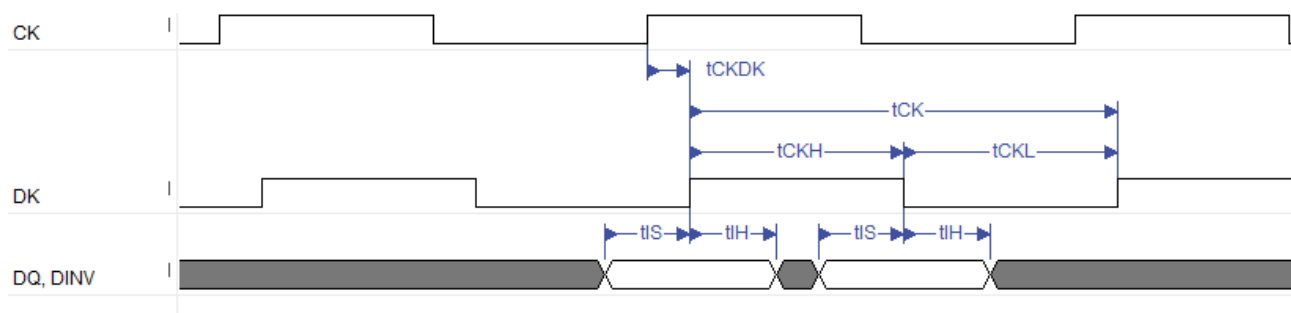
开关波形（续）

图 9. 输入和输出的时序波形

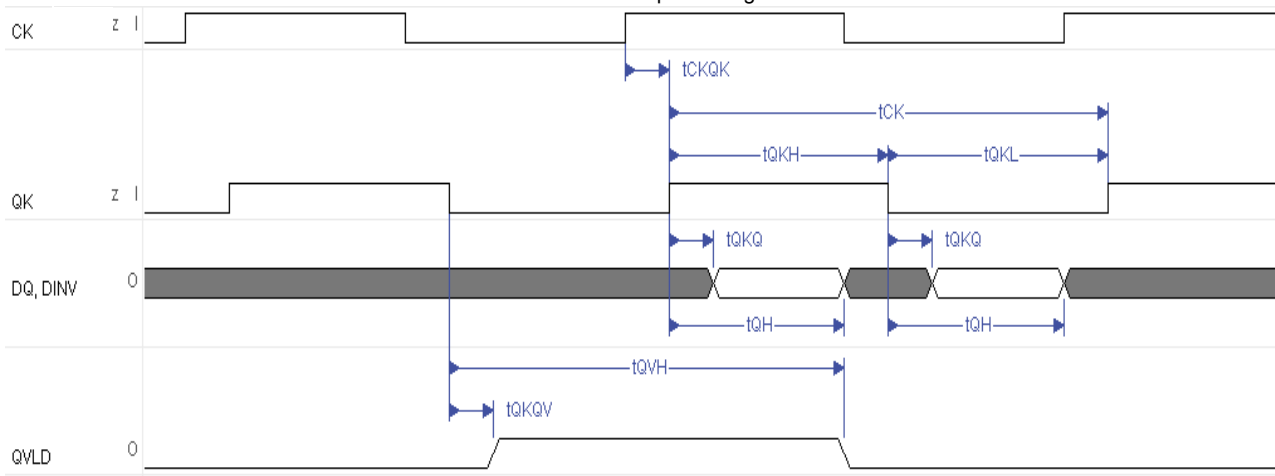
Address and Command Input Timing



Data Input Timing



Data Output Timing



开关波形（续）

图 10. 8.0 读周期延迟的波形（从读到写的时序波形）

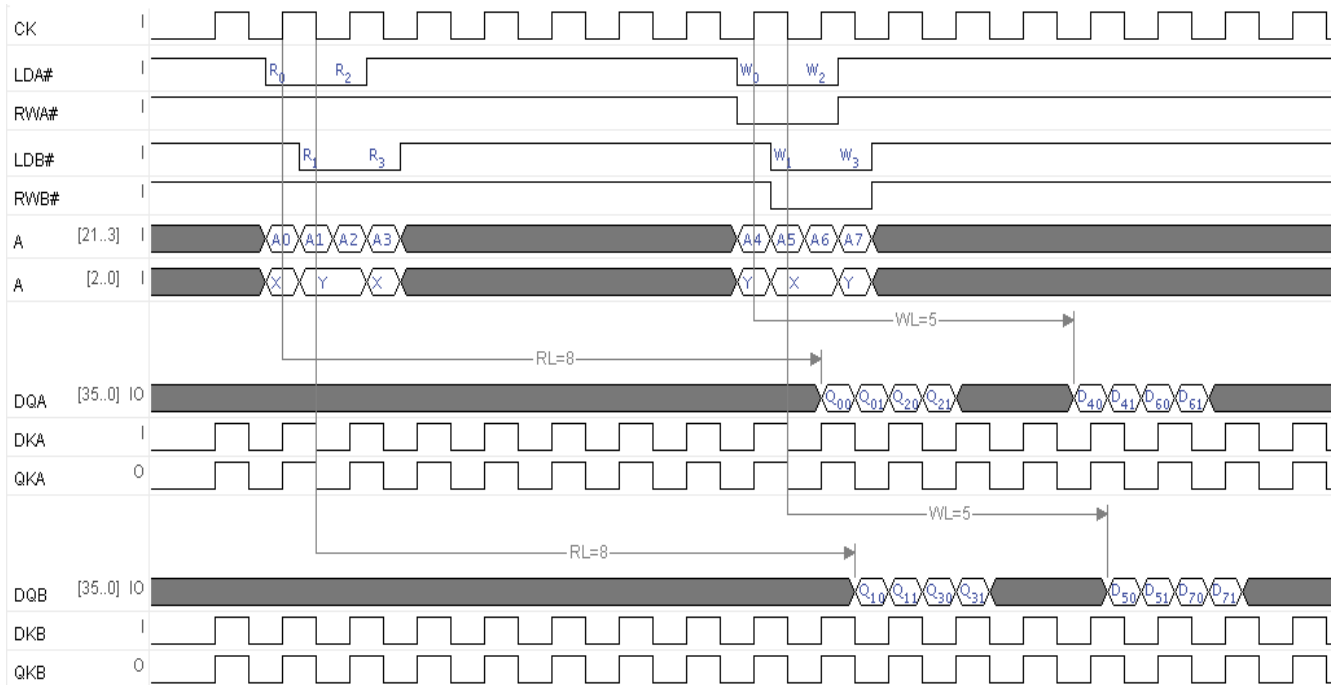
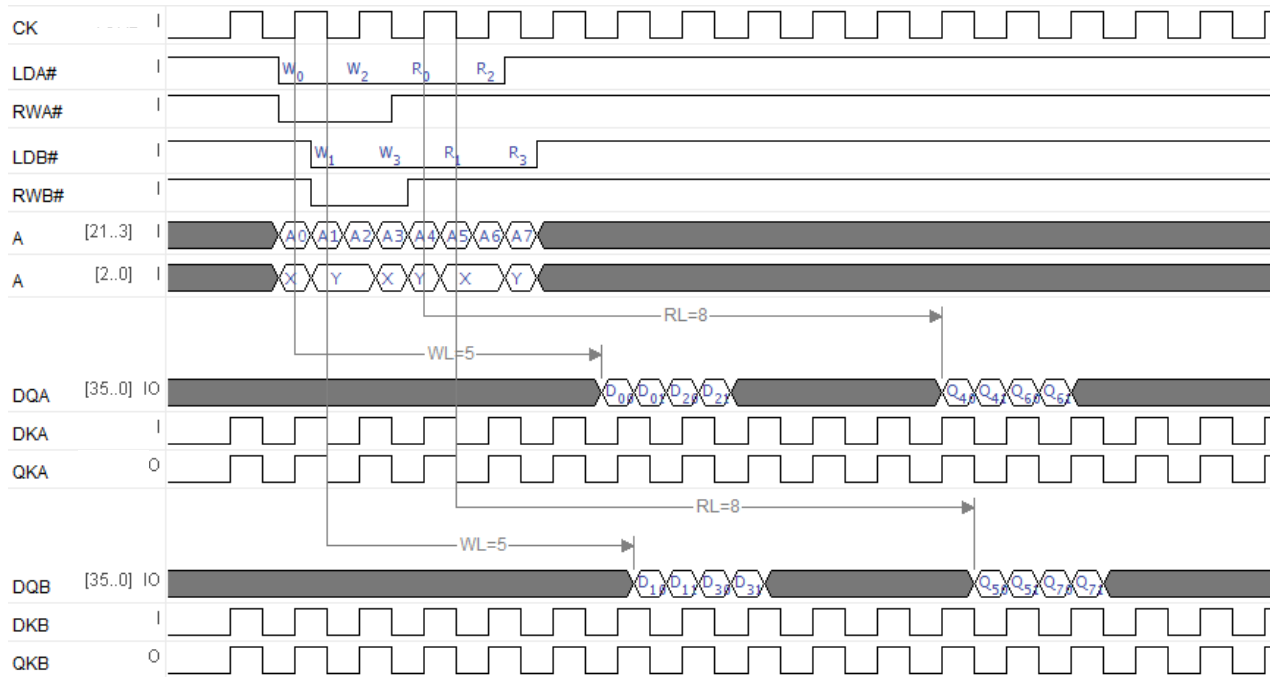


图 11. 8.0 读周期延迟的波形（从写到读的时序波形）



开关波形（续）

图 12. 配置写入操作的时序波形

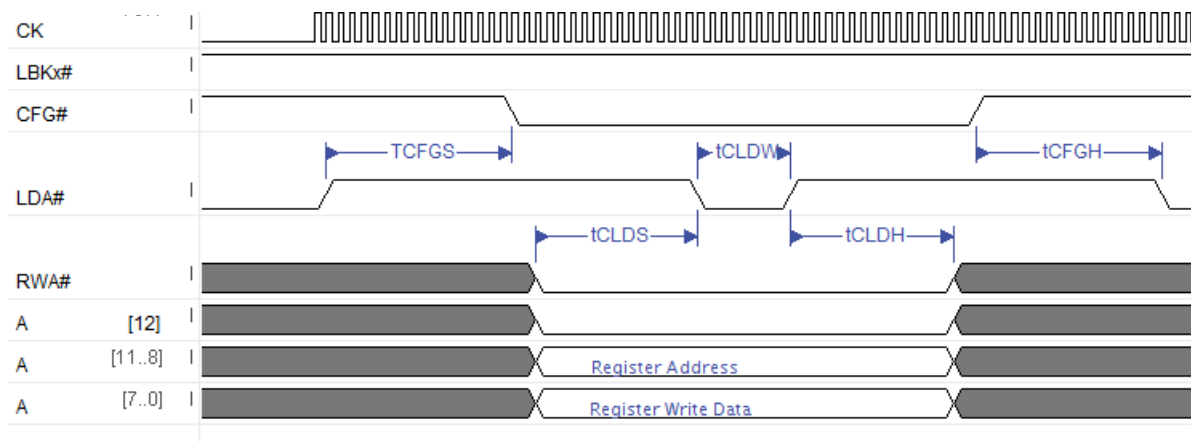
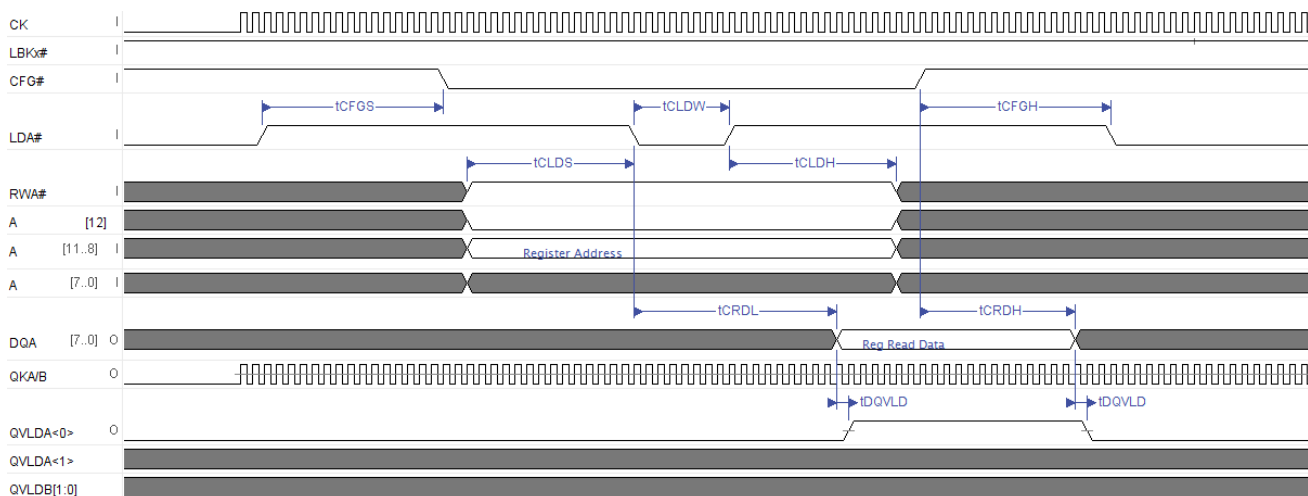


图 13. 配置读取操作的时序波形

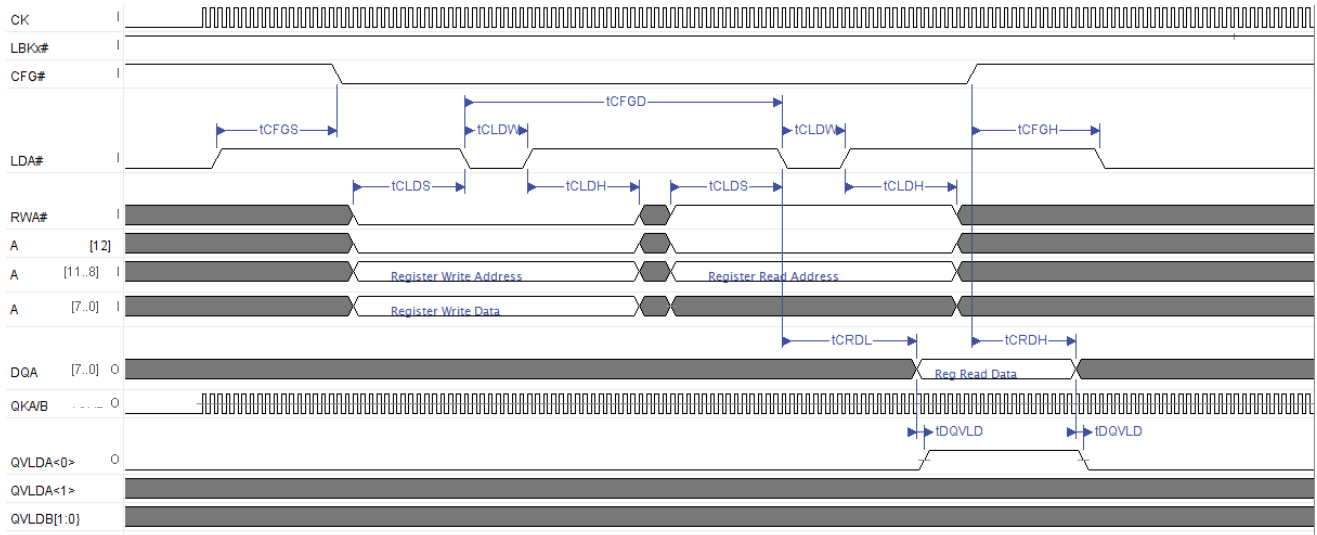


注意 在配置模式中，DQA[x:8] 和 DQB 数据总线不需关注

开关波形（续）

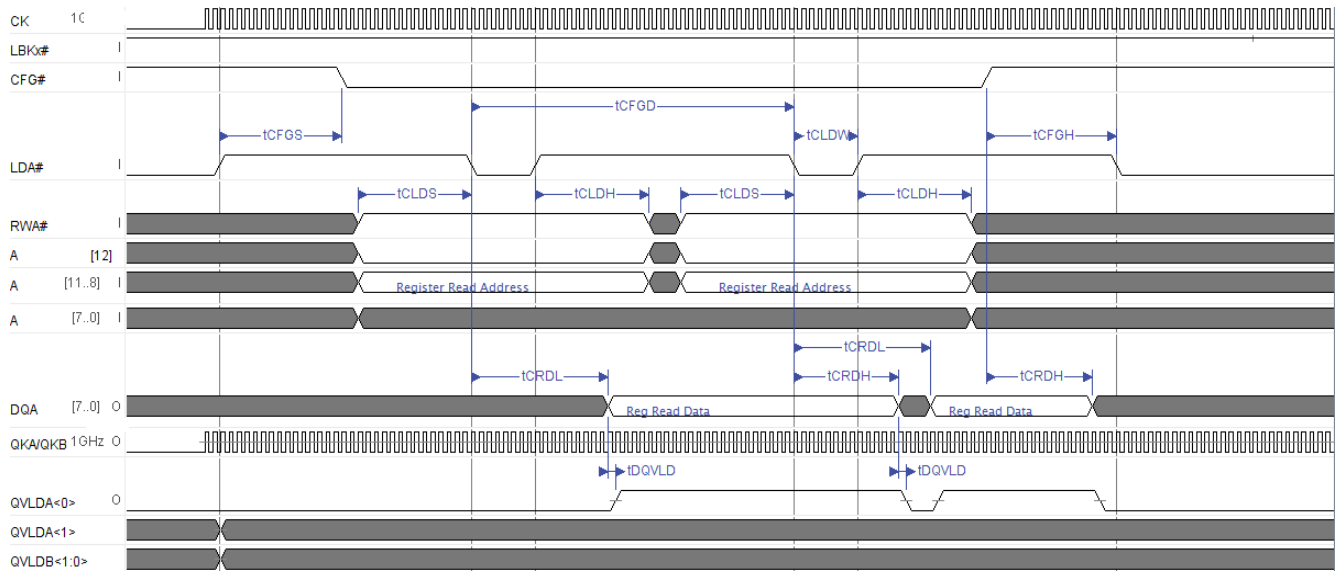
图 14. 配置写入和读取操作的时序波形

(a) 配置多重周期 — 读操作随后写操作



注意: 在该配置模式下, DQA[x:8] 和 DQB 数据总线不需关注

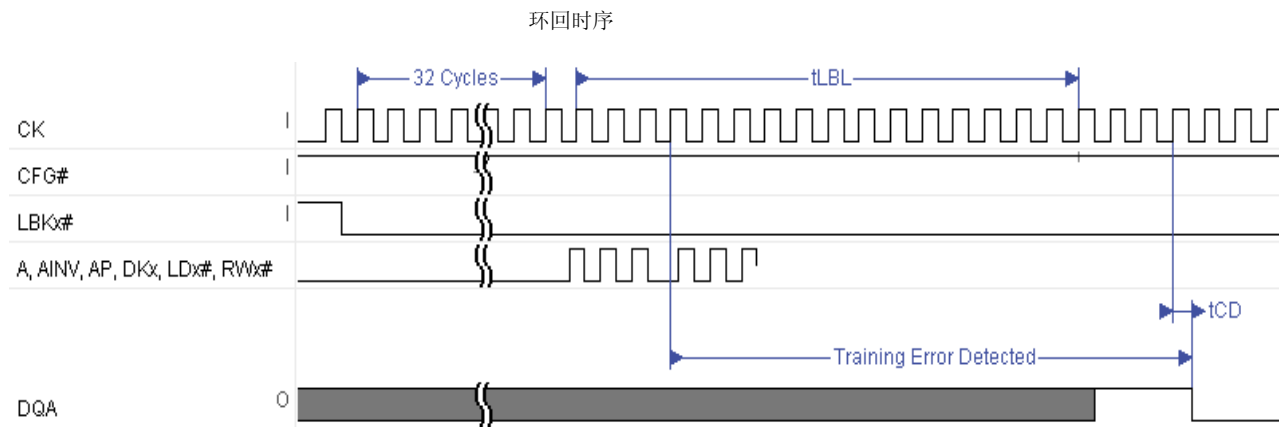
(b) 配置多重周期 — 背靠背读操作



注意: 在该模式下, DQA[x:8] 和 DQB 数据总线不需关注

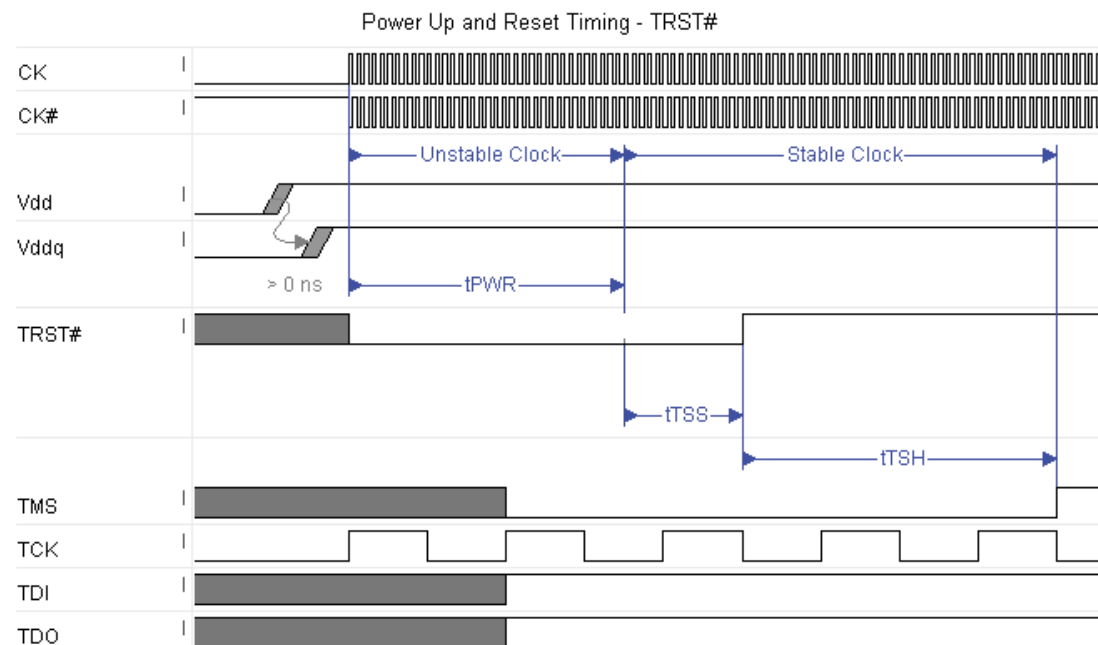
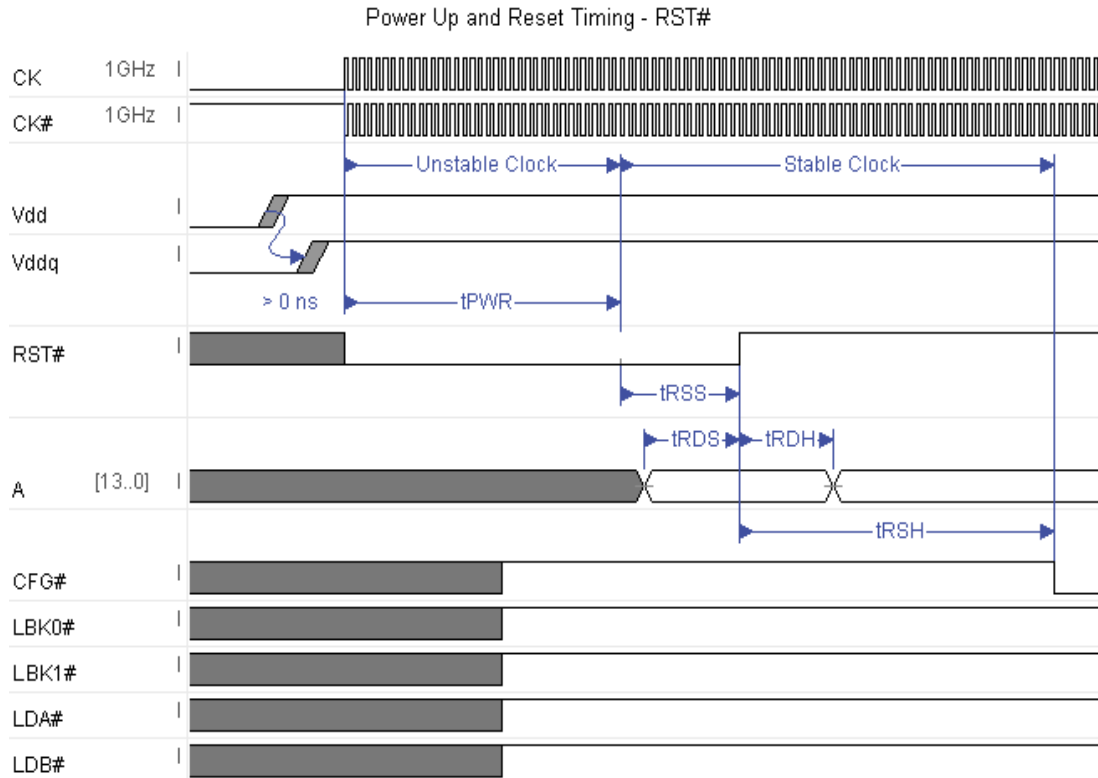
开关波形（续）

图 15. 回送时序



开关波形（续）

图 16. 复位时序



订购信息

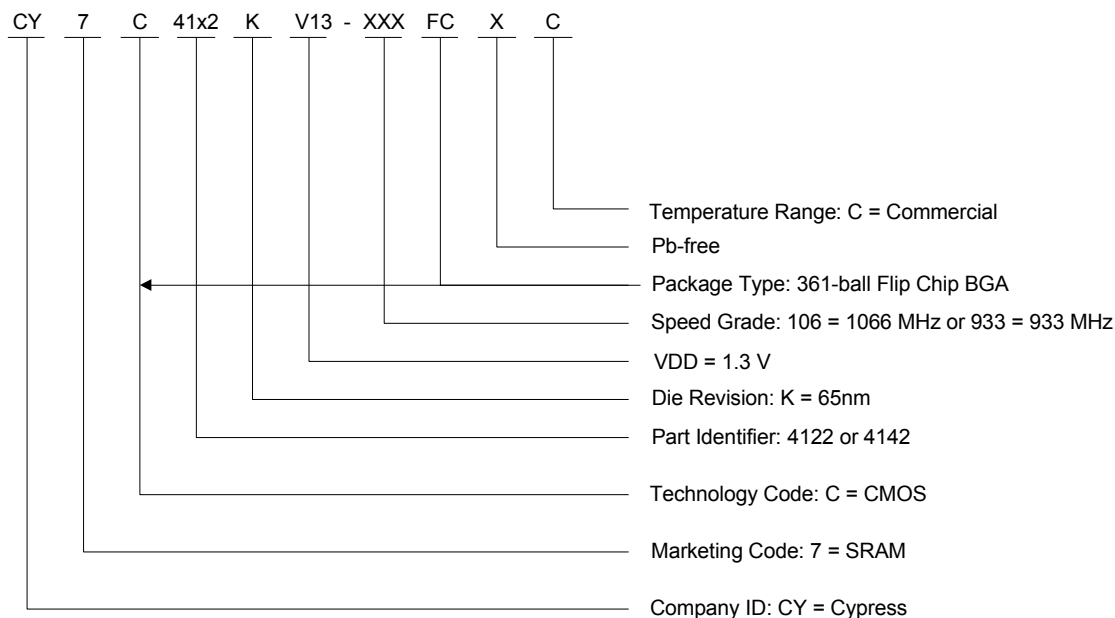
下面的表 22 仅包含了目前可用的部件。如果您没有看到自己需要的部件，请与当地销售代表联系。如需更多信息，请访问赛普拉斯公司网站 www.cypress.com，并参考 <http://www.cypress.com/products> 上的产品汇总页。

赛普拉斯公司拥有一个由办事处、解决方案中心、工厂和经销商组成的全球性网络。要查找离您最近的办事处，请访问 <http://www.cypress.com/go/datasheet/offices>。

表 22. 订购信息

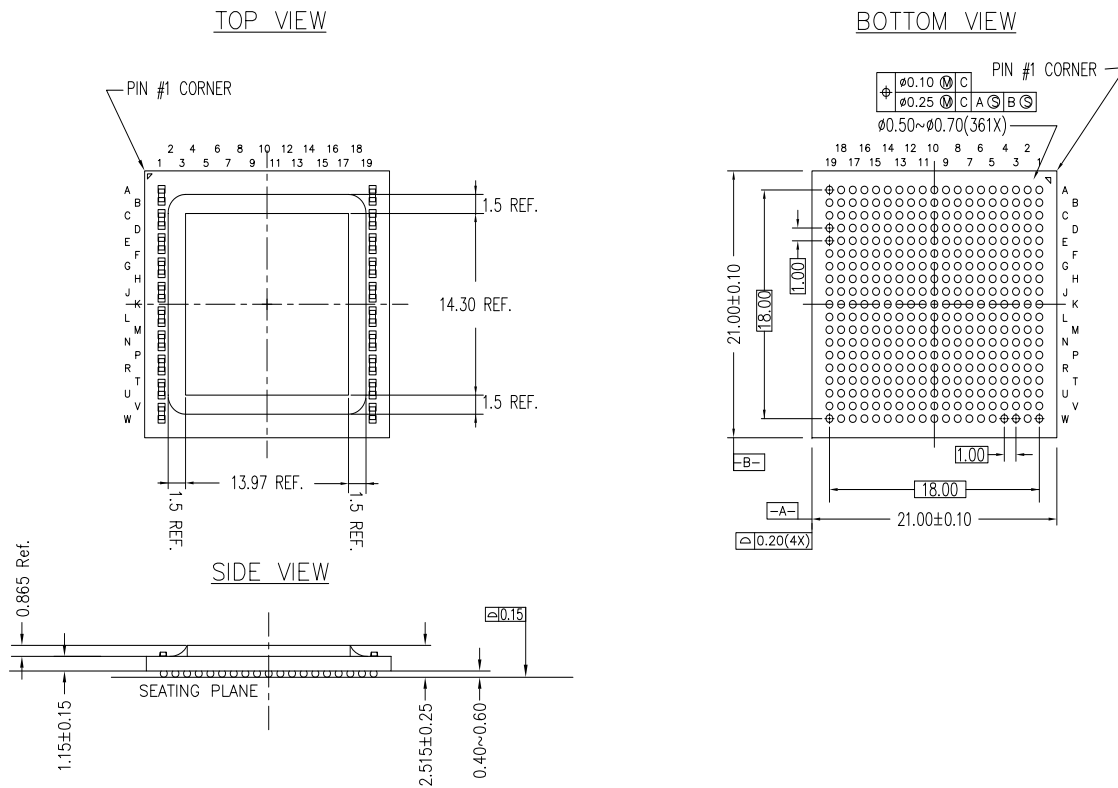
| 速度 (MHz) | 订购代码 | 封装图 | 封装类型 | 工作范围 |
|----------|----------------------|-----------|--|------|
| 1066 | CY7C4122KV13-106FCXC | 001-70319 | 361 球形焊盘 FCBGA (21 × 21 × 2.515 mm)、无铅 | 商用 |
| | CY7C4142KV13-106FCXC | | | |
| 933 | CY7C4122KV13-933FCXC | 001-70319 | 361 个球形焊盘的 FCBGA (21 × 21 × 2.515 mm)、无铅 | 商用 |
| | CY7C4142KV13-933FCXC | | | |

订购代码定义



封装图

图 17. 361 球形焊盘的 FCBGA (21 × 21 × 2.515 mm) FR0AA 封装外形, 001-70319



NOTES:

ALL DIMENSIONS ARE IN MILLIMETERS
 SOLDER BALL DIAMETER: 0.63
 SOLDER PAD TYPE: SOLDER MASK DEFINED (SMD)
 PACKAGE CODE: FR0AA

001-70319°C

缩略语

表 23. 本文档中使用的缩略语

| 缩略语 | 说明 |
|-------|--------------|
| DDR | 双倍数据速率 |
| RTR | 随机事务处理速率 |
| EIA | 电子工业联盟 |
| EMI | 电磁干扰 |
| FCBGA | 倒装球状引脚栅格阵列封装 |
| I/O | 输入 / 输出 |
| JEDEC | 联合电子器件工程委员会 |
| JTAG | 联合测试行为组织 |
| LMBU | 逻辑多比特错误 |
| LSB | 最低有效位 |
| LSBU | 逻辑单比特错误 |
| MSB | 最高有效位 |
| ODT | 片内终端 |
| PLL | 锁相环 |
| QDR | 四倍数据速率 |
| SDR | 单数据速率 |
| SEL | 单粒子电路死锁 |
| SER | 软错误率 |
| SRAM | 静态随机存取存储器 |
| TAP | 测试端口 |
| TCK | 测试时钟 |
| TDI | 测试数据输入 |
| TDO | 测试数据输出 |
| TMS | 测试模式选择 |

文档规范

测量单位

表 24. 测量单位

| 符号 | 测量单位 |
|-----|------|
| °C | 摄氏度 |
| MHz | 兆赫兹 |
| μA | 微安 |
| μs | 微秒 |
| mA | 毫安 |
| mm | 毫米 |
| ms | 毫秒 |
| mV | 毫伏 |
| ns | 纳秒 |
| Ω | 欧姆 |
| % | 百分比 |
| pF | 皮法 |
| V | 伏特 |
| W | 瓦特 |

文档修订记录页

| 文档标题: CY7C4122KV13/CY7C4142KV13, 144 Mbit QDR™-IV XP SRAM 文档编号: 001-91745 | | | | |
|--|---------|------------|------|---------------------------------------|
| 修订版本 | ECN | 提交日期 | 变更人 | 更改说明 |
| ** | 4321698 | 3/26/2014 | JCUI | 本文档版本号为 Rev**, 译自英文版 001-68255 Rev*I。 |
| *A | 4371874 | 05/06/2014 | JCUI | 本文档版本号为 Rev*A, 译自英文版 001-68255 Rev*J。 |

销售、解决方案和法律信息

全球销售和设计支持

赛普拉斯公司拥有一个由办事处、解决方案中心、工厂代表和经销商组成的全球性网络。要找到离您最近的办事处，请访问[赛普拉斯所在地](#)。

产品

| | |
|---------|--|
| 汽车用产品 | cypress.com/go/automotive |
| 时钟与缓冲器 | cypress.com/go/clocks |
| 接口 | cypress.com/go/interface |
| 照明与电源控制 | cypress.com/go/powerpsoc cypress.com/go/plc |
| 存储器 | cypress.com/go/memory |
| PSoC | cypress.com/go/psoc |
| 触摸感应产品 | cypress.com/go/touch |
| USB 控制器 | cypress.com/go/USB |
| 无线 /RF | cypress.com/go/wireless |

PSoC® 解决方案

psoc.cypress.com/solutions
PSoC 1 | PSoC 3 | PSoC 4 | PSoC 5LP

赛普拉斯开发者社区

[社区](#) | [论坛](#) | [博客](#) | [视频](#) | [训练](#)

技术支持

cypress.com/go/support

© 赛普拉斯半导体公司，2014。此处，所包含的信息可能会随时更改，恕不另行通知。除赛普拉斯产品内嵌的电路以外，赛普拉斯半导体公司不对任何其他电路的使用承担任何责任。也不会根据专利权或其他权利以明示或暗示的方式授予任何许可。除非与赛普拉斯签订明确的书面协议，否则赛普拉斯产品不保证能够用于或适用于医疗、生命支持、救生、关键控制或安全应用领域。此外，对于合理预计会发生运行异常和故障并对用户造成严重伤害的生命支持系统，赛普拉斯将不批准将其产品用作此类系统的关键组件。若将赛普拉斯产品用于生命支持系统，则表示制造商将承担因此类使用而招致的所有风险，并确保赛普拉斯免于因此而受到任何指控。

所有源代码（软件和 / 或固件）均归赛普拉斯半导体公司（赛普拉斯）所有，并受全球专利法规（美国和美国以外的专利法规）、美国版权法以及国际条约规定的保护和约束。赛普拉斯据此向获许可者授予适用于个人的、非独占性、不可转让的许可，用以复制、使用、修改、创建赛普拉斯源代码的派生作品、编译赛普拉斯源代码和派生作品，并且其目的只能是创建自定义软件和 / 或固件，以支持获许可者仅将其获得的产品依照适用协议规定的方式与赛普拉斯集成电路配合使用。除上述指定的用途外，未经赛普拉斯的明确书面许可，不得对此类源代码进行任何复制、修改、转换、编译或演示。

免责声明：赛普拉斯不针对该材料提供任何类型的明示或暗示保证，包括（但不限于）针对特定用途的适销性和适用性的暗示保证。赛普拉斯保留在不另行通知的情况下对此处所述材料进行更改的权利。赛普拉斯不对此处所述之任何产品或电路的应用或使用承担任何责任。对于合理预计可能发生运转异常和故障，并对用户造成严重伤害的生命支持系统，赛普拉斯不授权将其产品用作此类系统的关键组件。若将赛普拉斯产品用于生命支持系统，则表示制造商将承担因此类使用而导致的所有风险，并确保赛普拉斯免于因此而受到任何指控。

产品使用可能受适用的赛普拉斯软件许可协议限制。